

ФГУП «АО Стройполисо-  
сюзцентрстрой» подгосударственный институт  
строительных материалов имени В. А. Кучеренко  
имени ФГУП НИЦ «Стройполисоюз»

## ТЕХНИЧЕСКОЕ ЗАКЛЮЧЕНИЕ

по результатам лабораторных испытаний арматурных выпусков из  
стеклопластика, установленных в монолитной бетоне,  
на действие предельных относительных деформаций

по договору №169274-4026-09/окт. от 2009 г.  
этап 1

ФГУП «НИЦ «Строиматериалы»  
«Центральный научно-исследовательский институт  
строительных конструкций имени В. А. Кулебанова»  
филиал ФГУП «НИЦ «Строиматериалы»

ИЗВЛЕК из т. Кучеревки:

Центр исследований сейсмостойкости и обрушений



2009г.

## ТЕХНИЧЕСКОЕ ЗАКЛЮЧЕНИЕ

по результатам лабораторных испытаний арматурных выпукловых из стеклопластикса, установленных в монолитный бетон,  
на действие продольных относительных осевых нагрузок 50%  
и 100%

по договору №1692/24-4028-09/СК от 06 декабря 2009  
Этап I

Руководитель ЦРСС,  
к.т.н.

А. М. Морозов

А. М. Морозов

Зав. Лабораторией  
сейсмостойких конструкций,  
к.т.н.

А. В. Григорьев

Зав. Сектором ЛСК

А. А. Киселев

Москва 2009 г.

Расстояние, защищющее арматуру от разрушения, проверенных лабораториях измеряется по ширине арматурных выпусков из стеклопластика Ø 8 мм, установленных в испытательной бетоне. Измерение проводится в избыточных условиях ЦНИИСК им. В.А. Кунеренка.

### Цель работы:

- экспериментальное определение текущей способности к износу арматурных выпусков из стеклопластика Ø 8 мм, установленных в испытательный бетон.

Испытания арматурных выпусков из стеклопластика Ø 8 мм проводились в соответствии с требованиями действующих нормативных и рекомендательных документов [1-5].

### Описание опытных образцов инкрементов.

Для определения прочностных и деформационных характеристик арматурных выпусков из стеклопластика, установленных в железобетонные конструкции зданий при действии на них поперечных продольных отклонений их оси усилив были проведены экспериментальные исследования прочности изгиброванных теч бетонных образцов.

Арматурные выпуски из стеклопластика представляют собой арматурные стержни периодического профилей из стеклопластика с диаметром 8 мм. Диаметр стержней определялся без учета поперечных заоступок (рифелей). Глубина изгибаек составляла от 150 до 195 мм.

## Методика испытаний анкерных креплений.

Лабораторные испытания анкерных выпусков на отексплуатацию в вибрационном мостовом боксе проводились по двум методикам:

- по методике ФГУ «ФБС» [3] с нагрузкой на выпуск изобретающей нагрузкой и измерением переносимой анкером из каждого этапа предельной нагрузки. Время нагружения ~1-2 минуты;

- по методике [4] с пошаговым увеличением нагрузки на выпуск, выдаваемый выпуска при данном уровне нагрузки в последующем разгрузке образца. По данной методике анкер (захват гондолы анкера) крепится к ручному гидравлическому домкрату HYDRAULIC НН237 (сертификат №04-3 от 23.03.2004) мощностью 90 кН. Нагрузка на гонолку выпуска подавалась ступенями, со следующими №1/10-1/15 от предполагаемой разрушающей нагрузки (нагрузки, при которой происходит вытягивание выпуска из тела стены). На каждом шаге нагружения с помощью измерителя часового типа (точность 0.01мм) фиксировалась деформация выпуска. В процессе пошагового нагружения производилась разгрузка образца с целью определения остаточных деформаций выпуска. За разрушающую (пределную) принимается нагрузка, при которой увеличение деформации выпуска происходит без роста усилия на шагу.

За расчетное усилие вырывания выпуска принималась нагрузка, после снятия которой (разгрузка образца) остаточные деформации выпуска не превышали 0.1 мм (точность прибора < 0.01мм).

Преимущество данной методики, заключенный в небольшом время в ФГУ «ФБС» разработанный Стандарт «Анкерные крепления для фасадных систем. Общие положения, основные требования, методы испытаний, нормы принятой к состоянию следующим.

• возможное удлинение изгиба составляет не более 10 % от предполагаемой начальной длины листа; в изгибах не должны быть изгибы шагом менее 5-10 зажимов и предполагаемая деформация изгиба должна быть не более 10 % от изгиба;

• разбросанные выступы или отходы после изгиба не должны мешать определить конечную осевую нагрузку, то есть устанавливать реальную область изгиба работы выпуска. Где невозможность определить конечную расчетную нагрузку за выпуск и определить для дальнейших испытаний коэффициент безопасности для листовых выпусков и основания, в которых крепятся выпуски.

Результаты лабораторных испытаний непусков из  
стеклопластиковых панелей на  
внешнюю нагрузку и их расчет.

Были испытаны 4 арматурных выпуска из стеклопластика Ø 8 мм, установленных в монолитный бетон (см. фото на рис 1,2,3).

Результаты лабораторных испытаний указанных выше выпусков в процессе воздействия на них нормальных стягивающих их сил усилий позволяют отметить следующее:

1. Величина предельных разрушающих нагрузок для арматурных непусков из стеклопластика Ø 8 мм, установленных в монолитные бетон, составили:

– 34,0–58,0 кН – при глубине анкеражки 150 мм;

– 47,0–44,0 кН – при глубине анкеражки более 180 мм.

2. За расчетное усилие выдачи арматурных непусков из стеклопластика Ø 8 мм, установленных в монолитный бетон, в соответствии с методикой приведенной в ФГУ АФЦСи, следует принимать нагрузку на выпуск, состоящую из:

–  $N_{\text{рас}} = 0,14k = 504$  кгс при глубине анкеражки 150 мм;

–  $N_{\text{рас}} = 0,14k \cdot 455!t = 637$  кгс при глубине анкеражки более 180 мм.

Как отмечалось выше, данная методика не охватывает реальную область упругой работы выпуска, и, как следствие этого имеет место заниженный коэффициент запаса.

3. По результатам лабораторных испытаний арматурных непусков из стеклопластика Ø 8 мм, установленных в монолитный бетон, рекомендуется за расчетное усилие выдачи непусков в соответствии с методикой испытаний, разработанной в ЦНИИСК им. В.А. Кучеревого [4], принимать нагрузку на выпуск, состоящую из:

–  $N_{\text{рас}} = 1000$  кгс – при глубине анкеражки 150 мм;

–  $N_{\text{рас}} = 1500$  кгс – при глубине анкеражки более 180 мм.

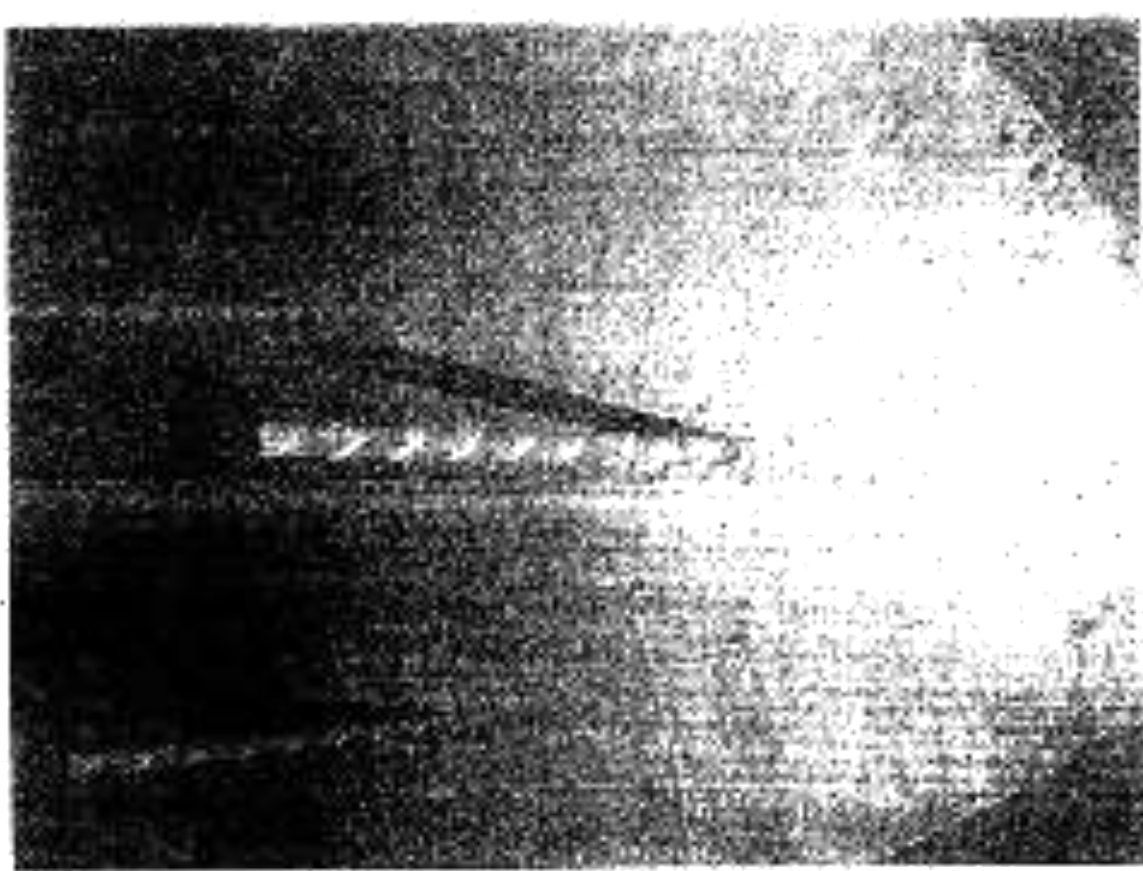
При линейных нагрузках зависимость напряжений от деформаций в процессе разгрузки остается практически такой же, т.е. температурные всплески не склоняютя при линейных расчетах нагрузок разбухают в первую очередь. На рис. 4.5 показаны графики зависимости кривизн-деформаций при испытании отдельных зернистых всплесков.

### Оценка и рекомендации.

Наиболее результативный изобретенный из заготовок изнутриных винтовых из стеклопластика Ø 8 мм, установленных в монолитный блок, позволяет оценить следующее:

1. По результатам изобретенных испытаний за расчетную нагрузку пограничную изнутриных винтов из стеклопластика Ø 8 мм, установленных в монолитный блок, следует принять условие:
  - $N_{\text{рас}} = 1000 \text{ кгс}$  — при глубинах анкеровки 150мм,
  - $N_{\text{рас}} = 1500 \text{ кгс}$  — при глубинах анкеровки более 180 мм.
2. Указанное расчетное условие может быть принято при размещении требуемой фирмой-изготовителем стеклопластиковой арматуры в части технологии ее установки и глубины анкеровки в соответствии с проектом.

Fig. 1. a) Chemical test showing absence of organic acids and organic acids  
hydroxyl groups; b) electron micrograph of the same sample.



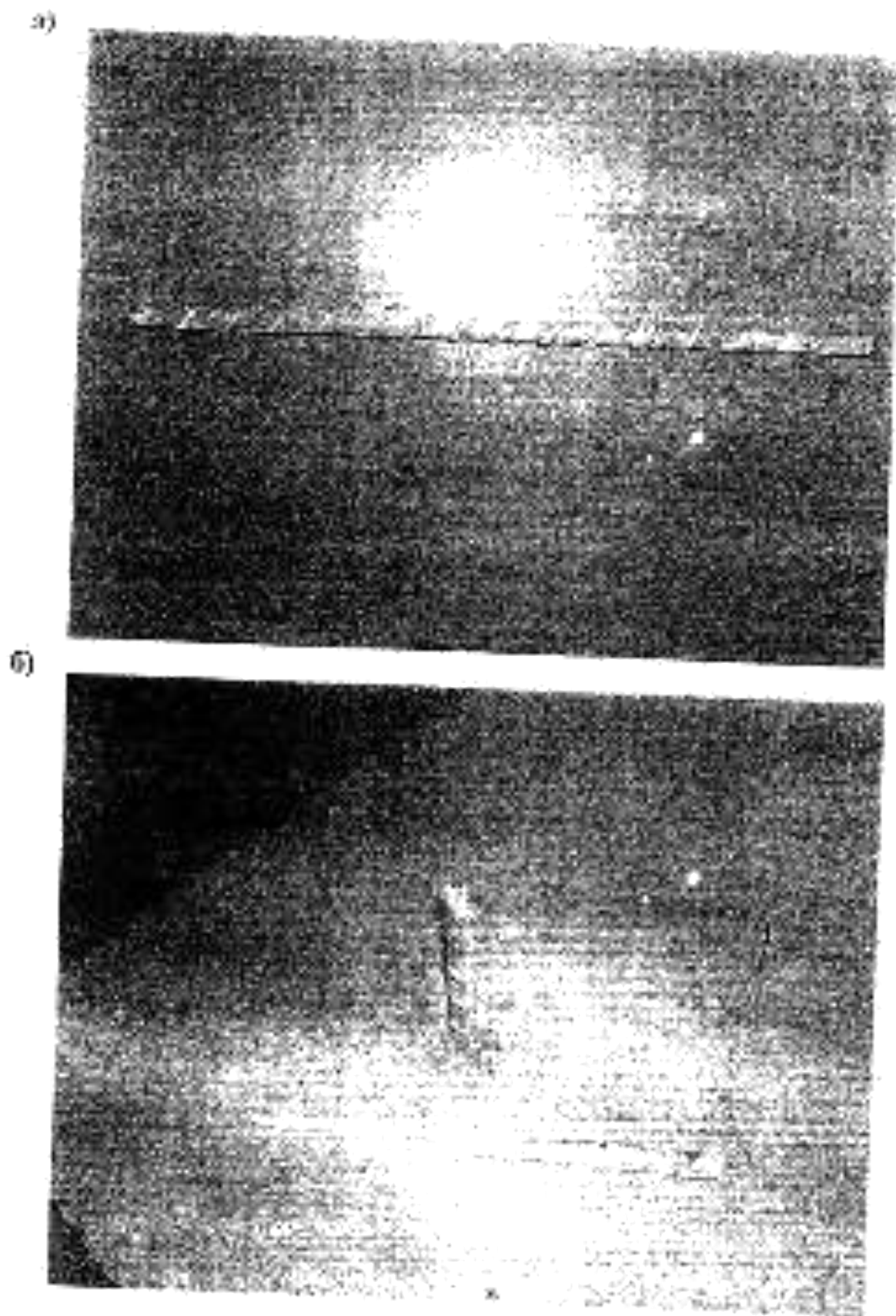
a)



b)



Рис.2. Демонстрация установки в момент испытания стендом для изучения архитектурного выпуска из вырыв из монолитного бетона.



**Рис.3.** Общий вид разрушенной арматурного панели из стеклопластикса при ударах из монолитного бетона по склону: а) поверхность бетона; б) по материалу стержня.

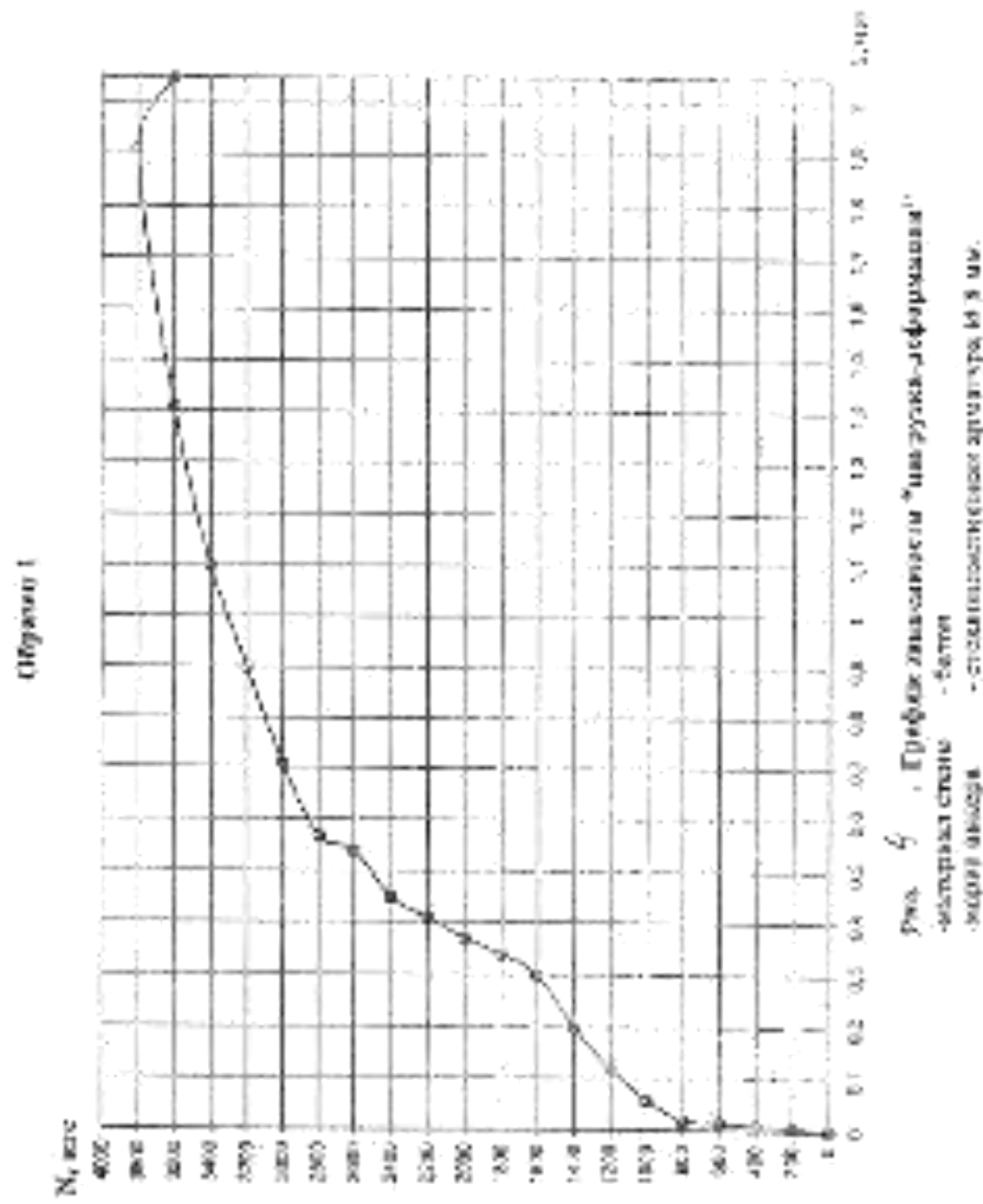


Figure 2

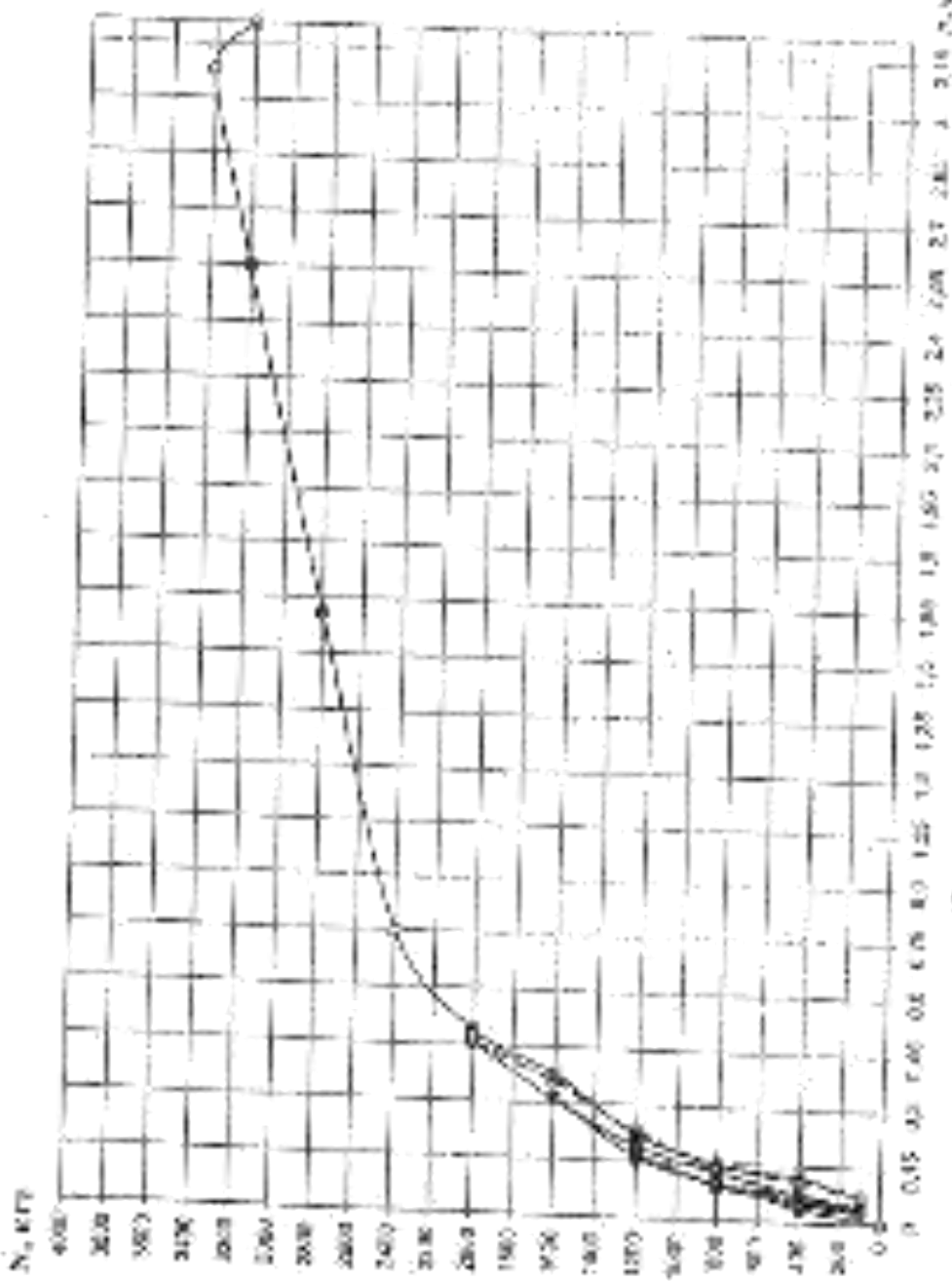


Fig. 5. Graph of the ratio of the initial concentration of the polymer to the equilibrium concentration vs. the equilibrium constant for the reversible reaction of the polymer with methanol.

*Список литературы.*

1. Фасонные металлические изделия с зазубинами засором. Рекомендации по составу и содержанию документов и материалов, представляемых для технической оценки пригодности продукции ФЦС Госстроя России к ЦНИИСК им. Н.А. Кучеренко, М., 2004.
2. Технические рекомендации по проектированию, монтажу и эксплуатации железных фасонных саней ТР 151-05. ГУ ЦБНТР «ЭНПЛАКОМ», М., 2005.
3. ETAG №001. GUIDELINE FOR EUROPEAN TECHNICAL APPROVAL OF METAL ANCHORS FOR USE IN CONCRETE. BRUSSELS, 1997.
4. Григорьев А.В., Киселев Д.А., Аксенов А.Г. «Об оценке несущей способности анкерных засоров». Бетон и арматурный -2006-№2- с.17-20.
5. СПб 2.03.01-84\* «Бетонные и железобетонные конструкции». М., Гострой России, 1998.

75

Приложение №1

**Лицензия на осуществление научно-исследовательской  
лаборатории**

ФЕДЕРАЦИЯ РОССИИ

Министерство здравоохранения и социального развития



АТTESTAT АККРЕДИТАЦИИ ИСЛЫХАТСКОЙ ЛАБОРАТОРИИ (ЦЕНТРА)

РОССИЯ 000125715

№

Составлено в г. Алматы	2008 г.
Б.Н. Чубакова	Генеральный директор
Родионовская Юлия Николаевна	Заместитель генерального директора по научной работе
Борисов Михаил Геннадьевич	Заместитель генерального директора по производству

Акредитовано

Бюро, 16.05.2008 г. 11. Генеральный директор

Министерство здравоохранения и социального развития Российской Федерации

Генеральный

директор

Алматы

ИБГУ им. Н.Д. Крупенецкого  
Центральный научно-исследовательский институт  
строительных конструкций имени Б.А. Гуляевского  
Филиал ФГУП НИЦ «Стройгипрострой»

ШОМИСЬ канд. техн. наук  
Куприенко

## ТЕХНИЧЕСКОЕ ЗАКЛЮЧЕНИЕ

по теме : «Экспериментальные исследования бетонных конструкций,  
армированных стеклопластиковой арматурой, на динамические  
(сейсмические) воздействия»

по договору №1692/24-4025-09 от 01 октября 2009г.

Этап 2

Москва, 2009 г.

Лінгвістичний аспект дискурса як основа методики  
пропагандистської обговорюваної літератури В. Р. Кудрявцева

©HMH Inc. All rights reserved.

Центр исследований социальных явлений

EXERCISES

Директор  
ЦНКИИТБ им. З.А.Кучеркою,  
доктор технических наук, профессор

— Т.Н. Николь

## ТЕХНИЧЕСКОЕ ЗАКЛЮЧЕНИЕ

по теме : «Экспериментальные исследования бетонных клянцевых колец, армированных стеклопластиковой арматурой, на динамические (ударные) воздействия».

по договору №1862-24-028-02/44 от 05.05.2009г.

### Answer 2

Рук. Центра исследований  
надежности скважин,  
доктор технических наук, профессор.

A. S. Cappozzo

Зав. Лабораторией  
законченности конструкций,  
заменив технических рабочих

第5章 | Python基础

Ст. научн. сотр. ИЧН

LITERATURE

Cf. HÖYER, CVD, JGK

Т.Н. Харитон

## СОДЕРЖАНИЕ

1. Введение.	3
2. Задачи проектировщиков и инженеров, их подобных.	5
3. Описание опытных образцов.	6
4. Программа и методика испытаний.	15
5. Оборудование для испытаний на динамические нагрузки. Средства измерения и регистрация локальных статических характеристик.	16
5.1. Оборудование для создания динамических нагрузок.	16
5.2. Средства измерения и регистрации динамических характеристик конструкций и воздействий на них.	17
6. Результаты динамических испытаний и их анализ.	21
7. ЗАКЛЮЧЕНИЕ. Выходы и рекомендации.	26
СИСТОМЫ ЛИТЕРАТУРЫ.	27
ПРИЛОЖЕНИЕ 1. Результаты динамических испытаний стеклоэмалированной арматуры.	28
ПРИЛОЖЕНИЕ 2. Видоизменение сечений из сейсмического воздействия.	38
ПРИЛОЖЕНИЕ 3. Лицензии на право проведения работ по обследованию несущих и опорно-фиксирующих конструкций зданий и сооружений (только в 1-м прил. отч.)	40

## Методика

Нагороди.2 – самая распространенная в практике при изучении распределительных исследований на бетонные изделия (нейтральные) воздействия бетонных конструкций, характеризующих структурой пакета бетонной смеси.

Испытание опытных образцов (фрагментов) бетонных пакетов, армированных стеклопластиковой прокладкой, производится на специально разработанном в ЦНИИСК им. В.А. Кулгуренко стенде (фото на рис. 1.1).

Нагрузка испытания: – коэффициентная опека прочности и износостойкости стеклопластиковой прокладки, рекомендуемой для армирования бетонных пакетов, при действующих воздействиях, соответствующих жесткотрасмешиваемости 3-го базиса по плану МКС - 64 [1].

Отчет оформляется в соответствии с Требованиями нормативных документов к техническим регламентам. Приложение методик и результатов экспериментальных испытаний используется термин и определения, содержащиеся в действующих нормативных документах [2,3].

Установка, для проведения опытных образцов пакетов к избралографии была разработана специалистами Лаборатории ст. научного сотрудника Бычково В.К. и научным сотрудником Грибусевым А.К.

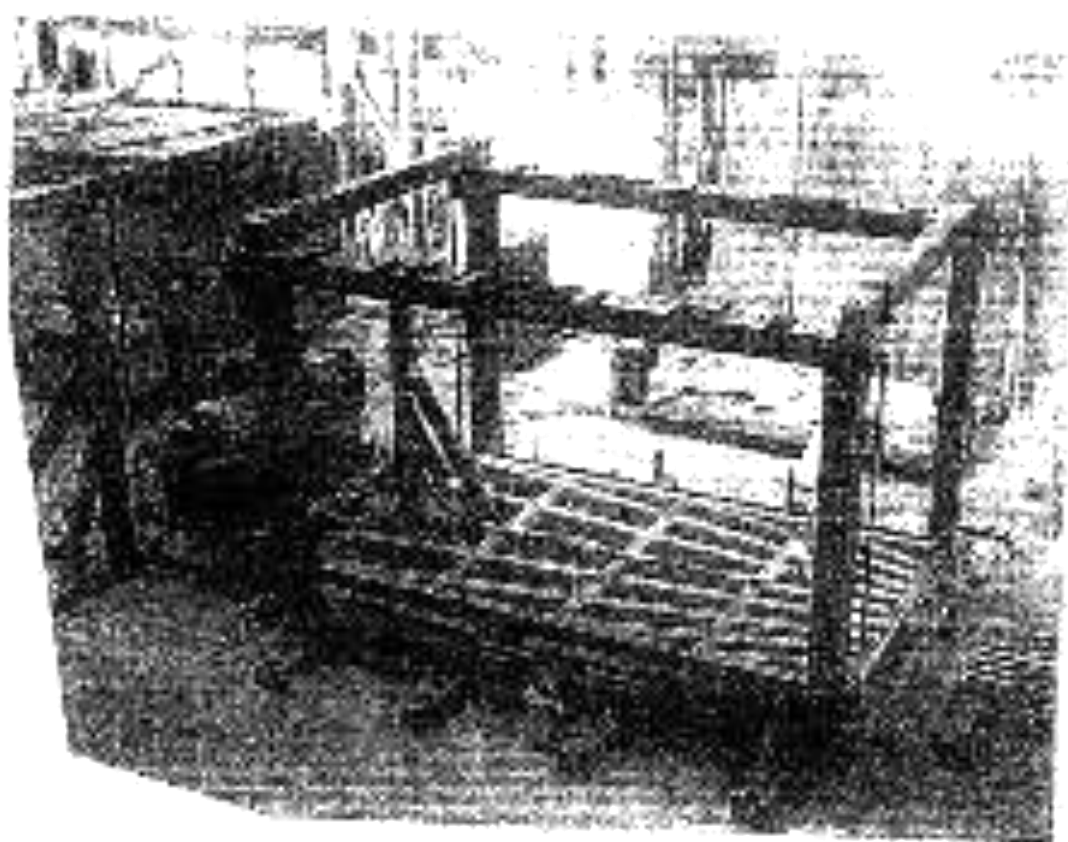


Рис. 1.1. Общий вид платформо-маятника.

## 2. Задачи проектирования межвагонных соединений

В соответствии с фундаментальным законом об экипажеском регулировании новых грузовых пружин, разработанных и переданных в машино (серийные) производство, широкий обобщенный цикл и подтверждение соответствия требованиям безопасности.

Важным явлением здесь является связь применительно к вопросам оценки статической безопасности межвагонных соединений, в том числе с применением динамического измерения по следующим стадиям: изобретательных и с помощью специальных избраний.

Получение в результате испытаний данных позволяет определить общую надежность, эксплуатационные и другие характеристики изучаемой конструкции, эксплуатационные показатели изываемой системы, ее достоинства и недостатки. Погрешности данных являются основанием для окончательности расширения области применения изываемой системы с учетом требований безопасности, эксплуатационной надежности и технологичности единой изобретения в сопутствующих работах.

Оценка результатов испытаний основана на демонстрации функциональной пригодности (рабочесспособности) используемых образцов, промышленных стеклоизоляционных прокладок в процессе и после действий действующих нагрузок. В процессе испытаний регистрируются изменения технического состояния образцов (увеличение ширины раскрытия трещин, сечение стеклоизоляционной прокладки и т.д.). После каждого цикла испытаний производится контроль обрывок с целью извлечения механических защелок.

### 3. Описание схемы испытаний

При разрушении динамических испытаний Заказчиком были доставлены в ЦНИИСК из. В.А.Кучеренко фрагменты опытных образцов стеклопластиковой арматуры Ø 8 мм.

Испытываемые образцы, представившие на себя фрагменты антизебетонных панелей размером 200х500х100см, армированых 4-мя стержнями из стеклопластиковой арматуры Ø8мм (рис. 3.1). Для оценки поведения стеклопластиковой арматуры при динамических воздействиях в панелях при их изготовлении вырабатывалась трещина: в панель при бетонировании за него ее толщину закладывалась пластина толщиной 1,2мм, которая перед начальным испытаний вынималась из тела панели.

Оценка прочности бетона панели производилась путем испытания кубов размером 10х10х10см, изготовленных одновременно с образами из той же бетонной смеси, и по результатам испытаний бетона панели с использованием неразрушающих методов контроля прочности – сканером РИМ-100, тарировка которого была выполнена по результатам испытаний кубов.

При разрушении динамических испытаний фрагменты панели устанавливались в специальный испытательный стенд, который крепился к раме виброплатформы.

Было исследовано 4-я серия образцов.

1-я серия. Панель устанавливалась канапально в стенд (рис. 3.2а). При этом коническая часть панели отделялась трещиной от затянутой части. Для исключения ее возможного обрушения при динамических воздействиях при контакте виброплатформы коническая часть панели широким концом опиралась у находящейся ране виброплатформы (см. фото на рис. 3.3 – стрелкой указано местоположение трещины).

**II-я серия.** Бокомольку при испытаниях испытываемого образца не было обнаружено выше предела прочности. II-я серия образцов (рис. 3.2б). На рис. 3.4 показан общий вид образца II-й серии, установленной на инбрюз-платформе. Как видно из фотографии рис. 3.2б в обеих случаях II-я серия имеет принципиально и сию же величину динамической силы (за счет дополнительной массы второго пакета) увеличиваются по отношению к фрагменту балки, закрепленной в стенах.

При испытаниях образца II-й серии изменений в повреждении и шармах не установлено.

**III-я серия.** Общий вид этого образца III-й серии показан на рис. 3.2, в.

Общий вид данного образца III-й серии, установленного на инбрюз-платформе показан на фото рис. 3.5. В сопоставлении с образцами II-й серии в данном образце за счет установки на балке части пакета увеличена масса крепильной части балки в, соответственно, величине динамической силы, действующей на балку, закрепленную в испытательском стенд, и на стеклопластиковую арматуру в зоне трещины. Бокомольку при проведении испытаний образца III-й серии разрушения (разрывы) стеклопластиковой арматуры не произошло, балка изменила очертания остаточного образца.

**IV-я серия.** Общий вид опытного образца показан на чертеже рис. 3.2г. Общий вид опытного образца IV-й серии, установленного на инбрюз-платформе, показан на фото рис. 3.6. По сравнению с образцами I-II серий в пакетах данной серии добавлен к два раза увеличенная длина пакета, что способствует увеличению динамической силы относительно. Установки в стенах, закрепленной в стенах.

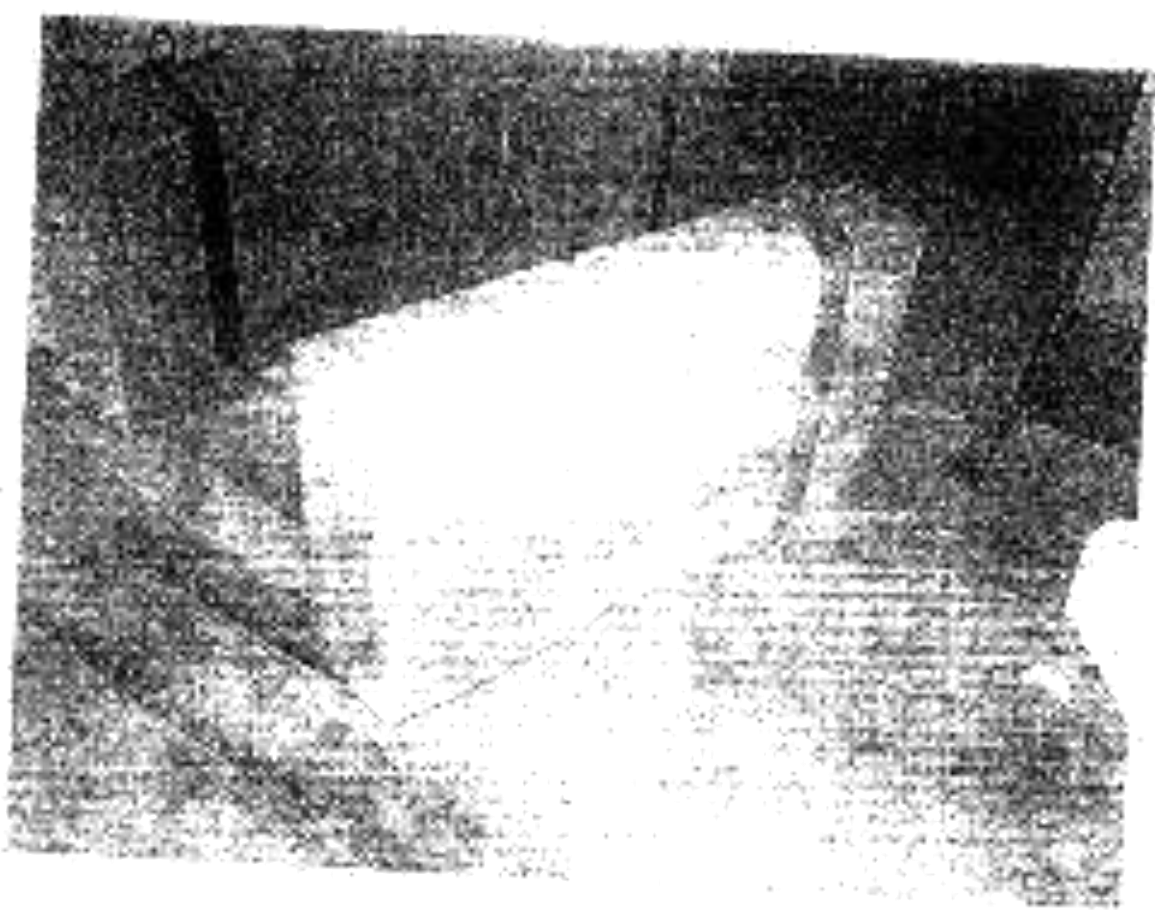
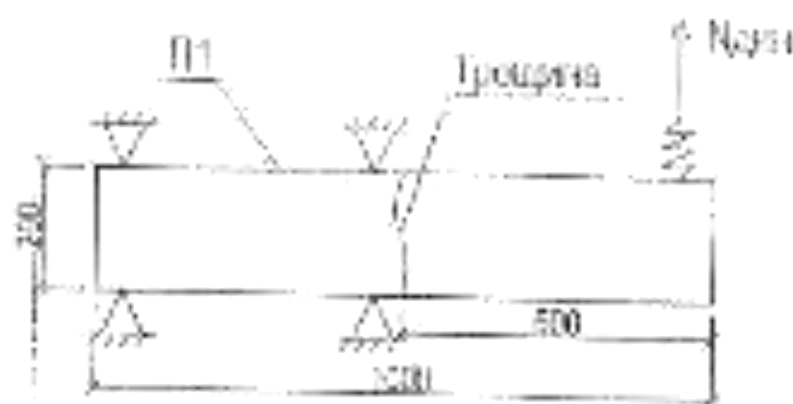


Рис. 3.1. Образцы изнутри тела птиц.

8)

Образец №1

9)

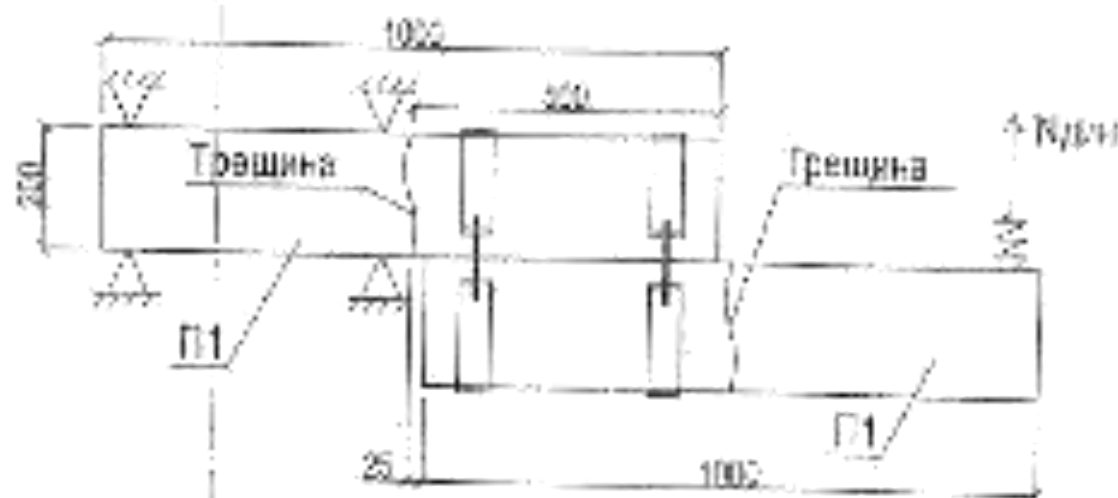
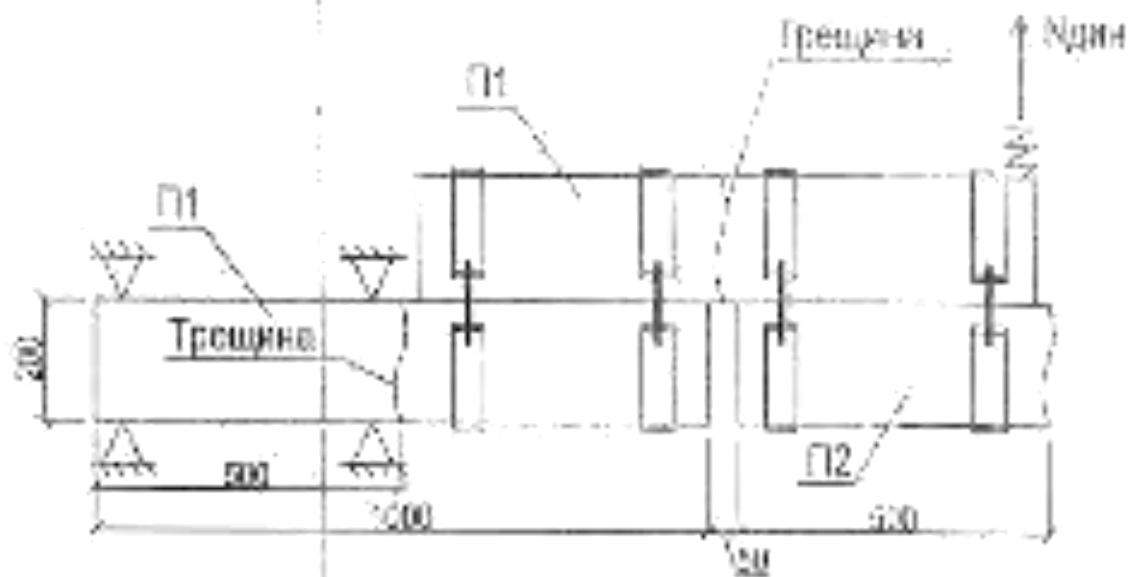
Образец №2

Рис. 3.2. Схемы испытаний блоков с геодинамической структурой.

9

Образец №3

10

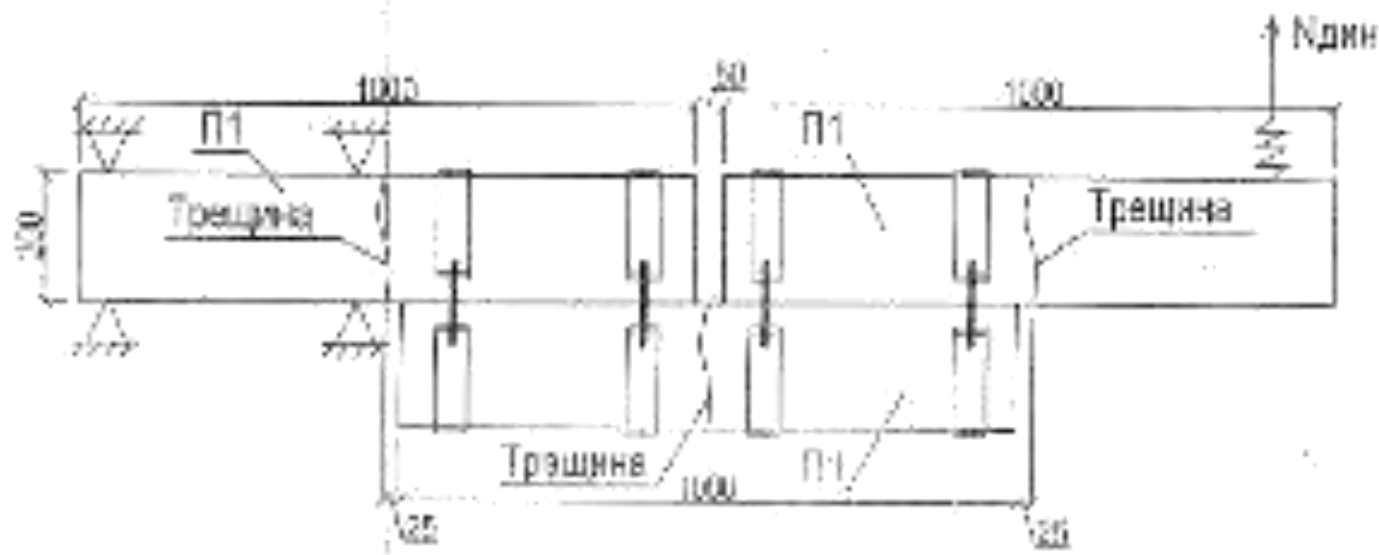
Образец №4

Рис. 2.2. Схемы испытаний блоков со стеклоизвестковой пристройкой.

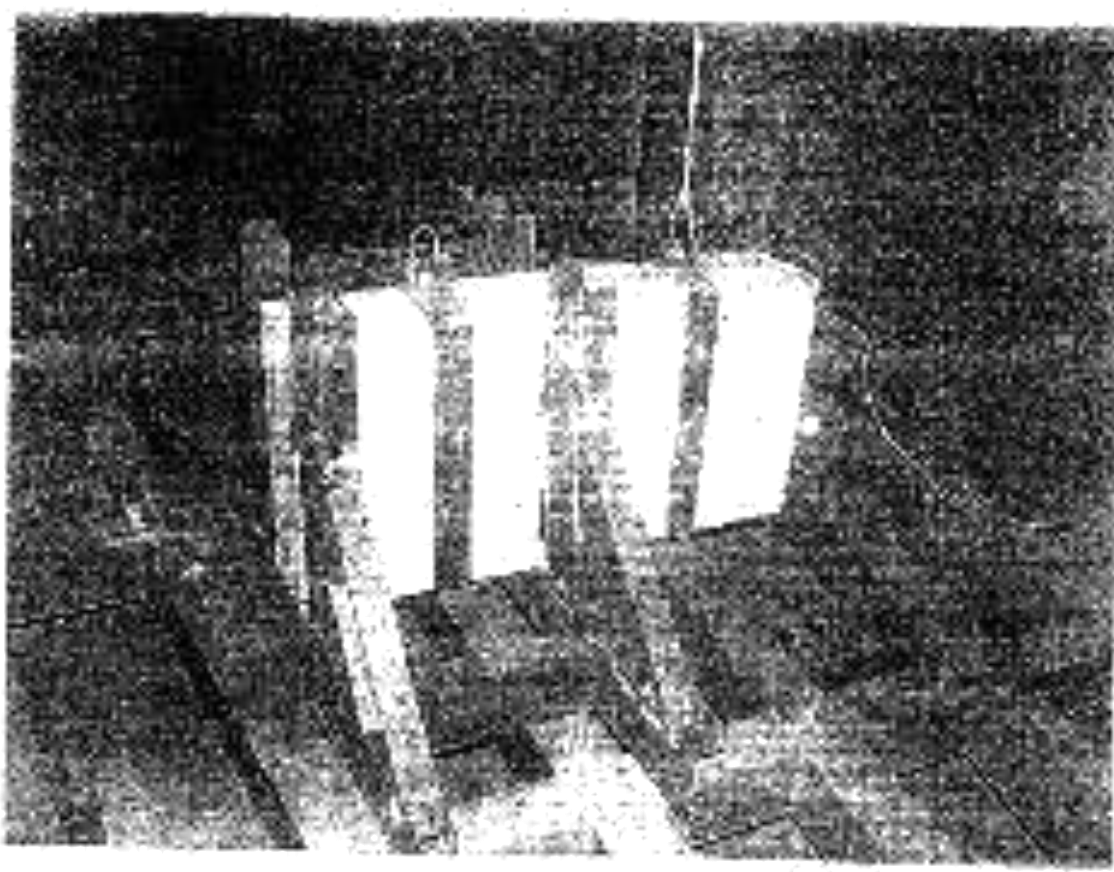


FIG. E. 3

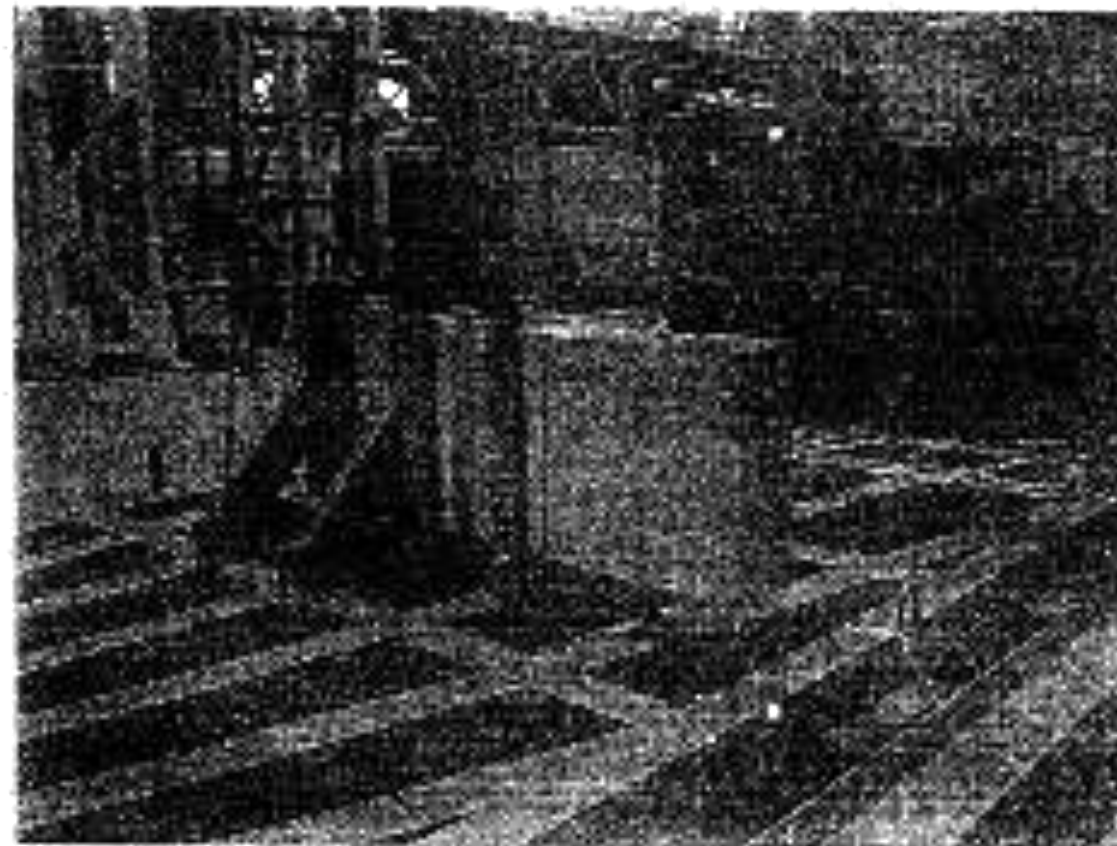
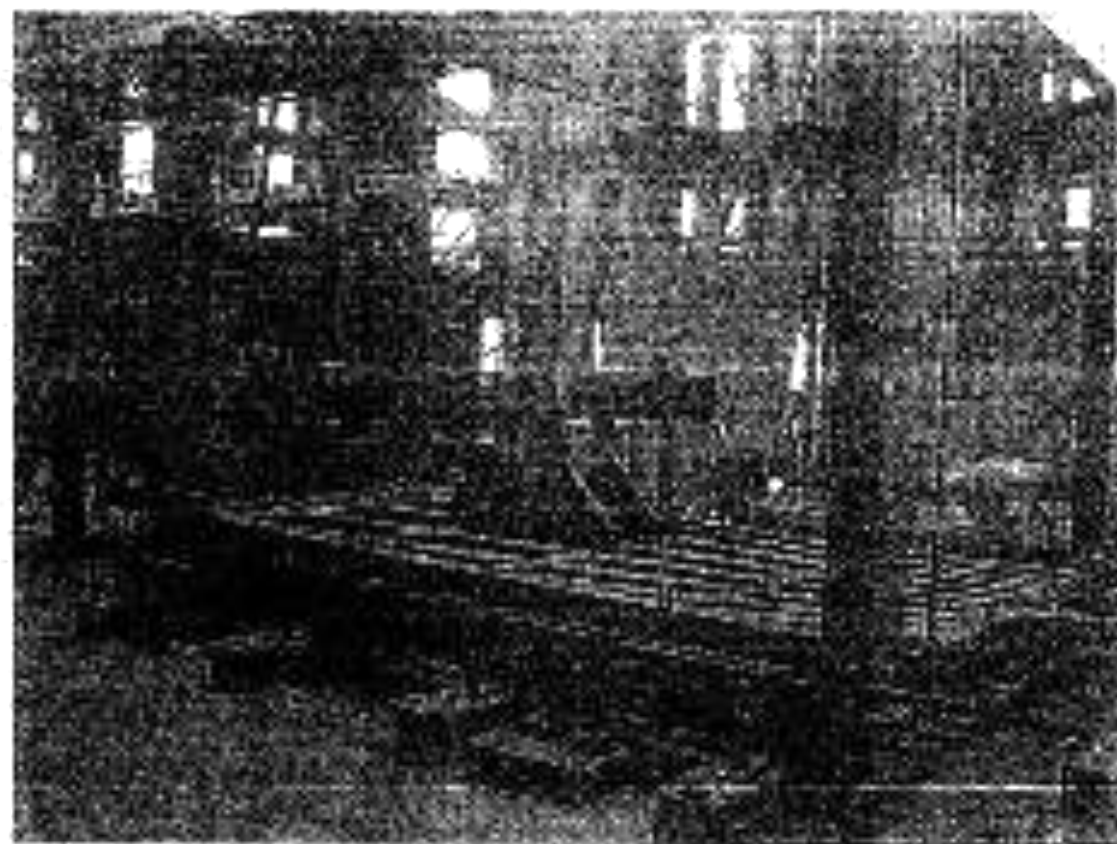


FIG. 3, 4



FIG. 5.5

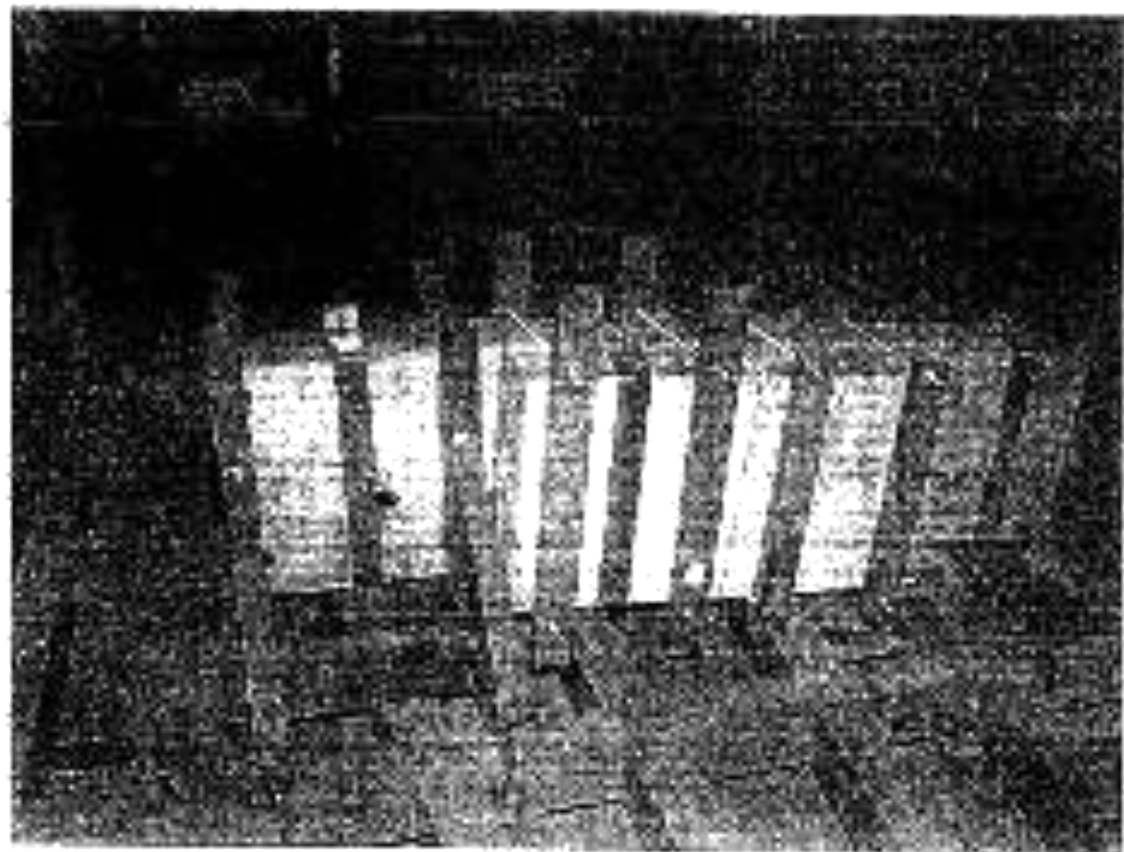
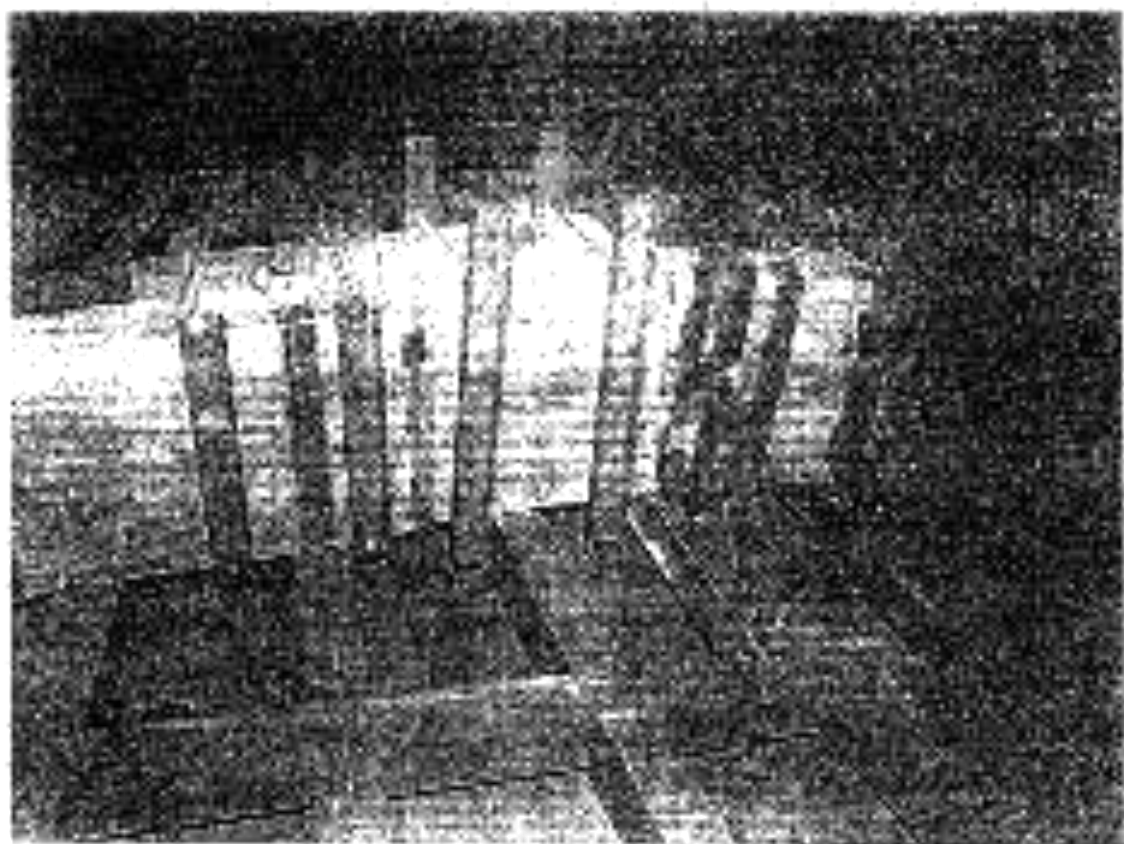


FIG. 5, 6

#### 4. Программа испытаний и методика ее выполнения

Программа испытаний фундаментов, выполненная в целях проверки динамико-стекловолокнистой арматурой, включает в себя следующие этапы:

1. Разработку и изготовление специальной установки (рунда) для крепления бетонных панелей к виброплатформе.
2. Подготовку вибробусты и измерительного оборудования для проведения динамических испытаний.
3. Назначение режима нагружения фрагментов линейной динамической изгибающейся виброплатформы с одновременным воздействием на конструкции при эксцентрических разгонной интенсивности (от 7 до 9 единиц).
4. Обработка и анализ результатов экспериментальных исследований фрагментов бетонных панелей, пропитанных стекловолокном.
5. Составление Технического задания по результатам динамических испытаний.

#### Методика испытаний.

Динамические испытания панелей проводились на сплошной платформе-каштике, за которую был установлен испытательный стенд. Воздействие колебаний виброплатформы осуществлялось с помощью виброплатформы ВИД-12, закрепленной на платформе. За счет измерительной схемы, разомкнутой ВИД-12, обеспечивалась тот или иной частотный спектр воздействий за испытательный стенд и определенный уровень амплитуды колебаний платформы. При испытаниях частотный спектр платформы может изменяться от 0 до 15 Гц, величина пульсации платформы от 0 до 150 нм.

**5. Оборудование для испытаний по статическим нагрузкам.**  
**Средство измерения и регистрация динамических характеристик.**

**5.1. Оборудование для создания динамических нагрузок.**

Как уже отмечалось, для создания динамических воздействий из неподвижных образцов используется скользящий стенд.

Фундаментальное устройство представляет собой подиумную на силиконе зарядку скользящую платформу. Активная платформа оснащается вибромашиной ВИД-12М, установленной на кинематической платформе в уровне основания ямы.

Вибромашина ВИД-12М позволяет обеспечить требуемые параметры динамических воздействий по исследуемым образцам в широком диапазоне частот в инерционных нагрузках путем возбуждения механических колебаний платформы в горизонтальной плоскости. На рис. 3.4 показан общий вид вибромашиной с установленным на ней образцом.

Управление НИД-12М осуществляется с пульта управления, расположенного в ложементе.

Основные технические характеристики приведены в табл. 5.1.

Основные технические данные машины НИД-12 Таблица 5.1.

№п/п	Начальные параметры	Значение
1	Инерционный груз, равномерно загруженный при наибольшем размахе колебаний:	
	- при 60 об/мин (1 Гц)	0,3 т
	- при 180 об/мин (3 Гц)	1,0 т
	- при 240 об/мин (4 Гц)	12,5 т
	- при 360 об/мин (5 Гц)	35,2 т
2	Частоты характеристики:	
	- нижняя частота, Гц	0,4
	- верхняя частота, Гц	25
3	Характер изменения массы	Бесступенчат.

## 5.2 Средства измерения и регистрация измерительных известственных показаний и информации на них

Регистрация и измерение сигналов производится при помощи специализированного измерительно-программного комплекса МИС-ЭМ, предназначенного для сбора, преобразования, распределения, обработки, передачи и представления информации доступной с датчиков.

Комплекс выполняет следующие функции:

- измерение, регистрацию и первичную обработку сигналов (чистотных, дискретных и пр.), полученных в результате испытаний;
- отображение значений измеренных источников и преобразованных параметров на мониторе;
- контроль значений измеренных величин при преобразованиях параметров; поиск результатов их измерения в преобразовании;
- связьности протоколов измерений (анализ работоспособности с возможностью выхода в текстовых программах);
- архивацию результатов измерения и преобразования (хранение данных с возможностью просмотра и анализа);
- вывод текущих значений измеряемых параметров, заданной аварий и технологических сообщений на ЭВМ верхнего уровня;
- возможность подключения внешних устройств, в том числе для оформления протокола результатов измерений;
- возможность связи с другими системами (подключение в симметричную локальную вычислительную сеть);
- возможность записи схемы генерации звуковой контакт для выполнения синтезации и воспроизведения в текстовом решении;
- возможность выдачи различных информационных сигналов.

Информационно-измерительный комплекс НИС – это дополнительное устройство, соединенное со специализированным программным обеспечением периферийных устройств, необходимое для автоматизированного процесса обработки спектров, а также для документирования результатов обработки (рис. 5.1, а).

Для измерения узорений, частот колебаний, а также динамических перемещений применяются однокомпонентные датчики – акселерометры АТ 1105 – 10н (рис. 5.1, б).

Характеристики датчиков (акселерометров) приведены в таблице 5.2.

#### Основные технические данные акселерометра АТ 1105 – 10н

Таблица 5.2.

№	Наименование параметра	Значение
1	Электропитание от источника постоянного тока относительно средней точки, В	±12
2	Диапазон измерения, н/с <sup>2</sup> (г)	9,81 (10,0)
3	Частотные характеристики - нижняя частота, Гц - верхняя частота, Гц	0 700
4	Диапазон рабочих температур, °С	от -15 до +35

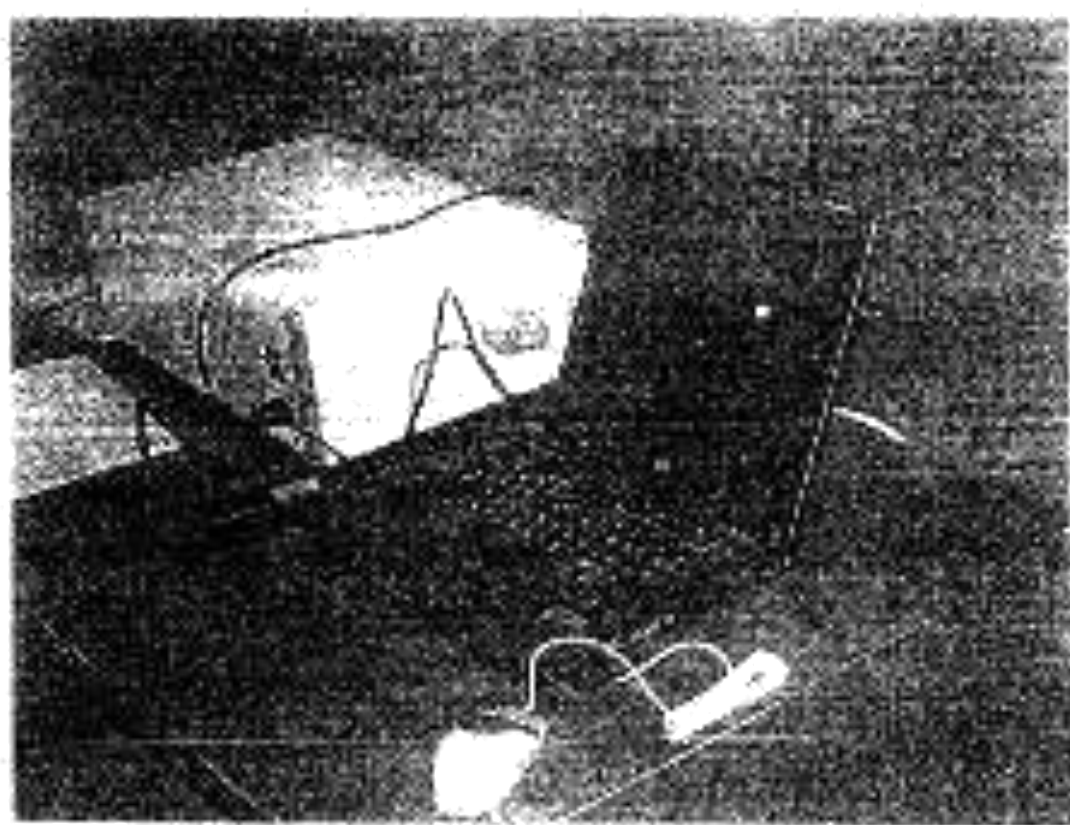
Точки размещения измерений выбраны в следующих условиях:

- места, где по результатам проекта предполагается развитие максимальных усилений и деформаций – край холмистой почвы обрыва Канской серии;
- возможное одновременное определение основанных асферических в различных конургационных профилей;

Для контроля заадимых нагрузок одни датчики были установлены на платформе, избыток источника загружания.

Общее количество контролируемых точек (количество измерений) – 2; одни датчики на инвентаризацию, второй – за обрыв.

a)



b)

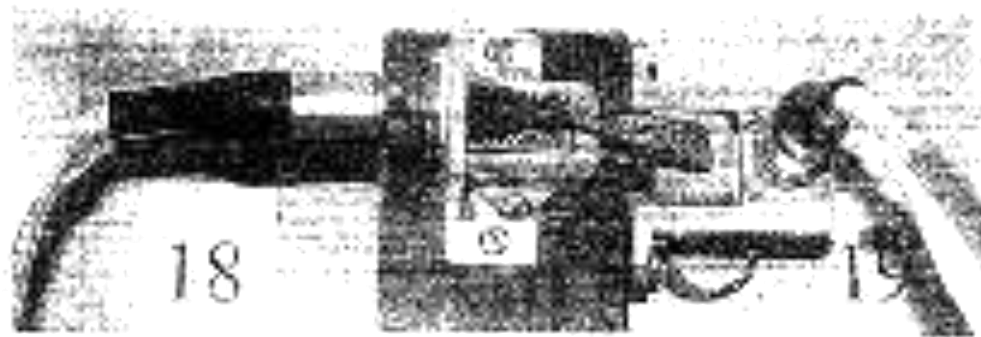


FIG. 5.1

#### 6. Результаты динамических испытаний и их анализ.

Анализ результатов изобретенных конструкций фрагментов стальных панелей образцов I-II серии во время действия сейсмической нагрузки, соответствующей 7-9 базисной сейсмичности, позволяет отыскать следующее.

1. В процессе испытаний частота колебаний нагрузки изменяется в интервале от 2,5 до 16,6 Гц. При этом, скорость изменения обрашения усиливается в интервале от 200 до 300 градусов в минуту, что отвечает скорости нагружения строительных конструкций при сейсмических нагрузках.
2. Указанные в таблице 6.1 динамические характеристики и характеристики ускорений соответствуют значениям, полученным по данным высокочастотных устремлестовых избираторных измерений испытаний за образца.
3. Показанные в таблице 6.1 значения ускорений по наименованию соответствуют зонам опасности, указанным из зона сейсмического районирования территории РФ (рис. 6.1).
4. При динамических воздействиях избираторных измерений, соответствующих указанным рабочим районам II-IV-ІІІ кратко разрушение образцов III-IV-ІІ серий путем разрывов вертикальных стержней (см. фото на рис. 6.2, 6.3). На рис. П-1-1 – П-1-9 (см. Приложение 1) приведены данные измерений динамических характеристик оставшихся образцов, полученные в процессе испытаний.

**Пиратструн динамикасындағы күннен күннеге деңгээлдер**

Таблица 6.1.

No	I. Гж	А. жы	Күннен күннеге деңгээлдер	Бал
2	3,4	1,1	160,7	7,6
4	7,5	6,8	339	8,0
6	3,1	1	255,7	3,4
8	5	1,8	161,6	7,9
10	5,9	1,7	220	5,1
12	3,5	2,7	176,8	7,3
13	4,8	3,1	269,5	5,4
14	5,2	3,8	272,3	3,6
16	3,3	5,0	229,8	6,3
18	3,8	5,4	230,5	5,8
19	1,3	5	261,3	6,9
21	2,2	3	142,7	8,1
22	2,9	0,0	162,7	7,7
23	3,2	0,9	273,1	8,4
24	3,4	0,1	196	9,0
25	2,3	8,2	173,6	7,8
27	2,3	8,3	272,3	8,4
28	0	0,0	120	9,1
29	4,0	6,0	224,3	0,9
30	3	0,5	347,2	8,5
31	1,5	5,3	293,1	8,0
33	4,3	0,9	237,7	8,2
34	0,4	0,8	234,4	0,7
35	1,6	5	200,0	8,2
36	8,1	1,8	217,5	8,8
37	1,0	7,1	113,1	9,5
38	1,2	7,2	113,1	7,0
39	7,2	10	144,7	10,6
40	10,7	0,0	212,4	10,2

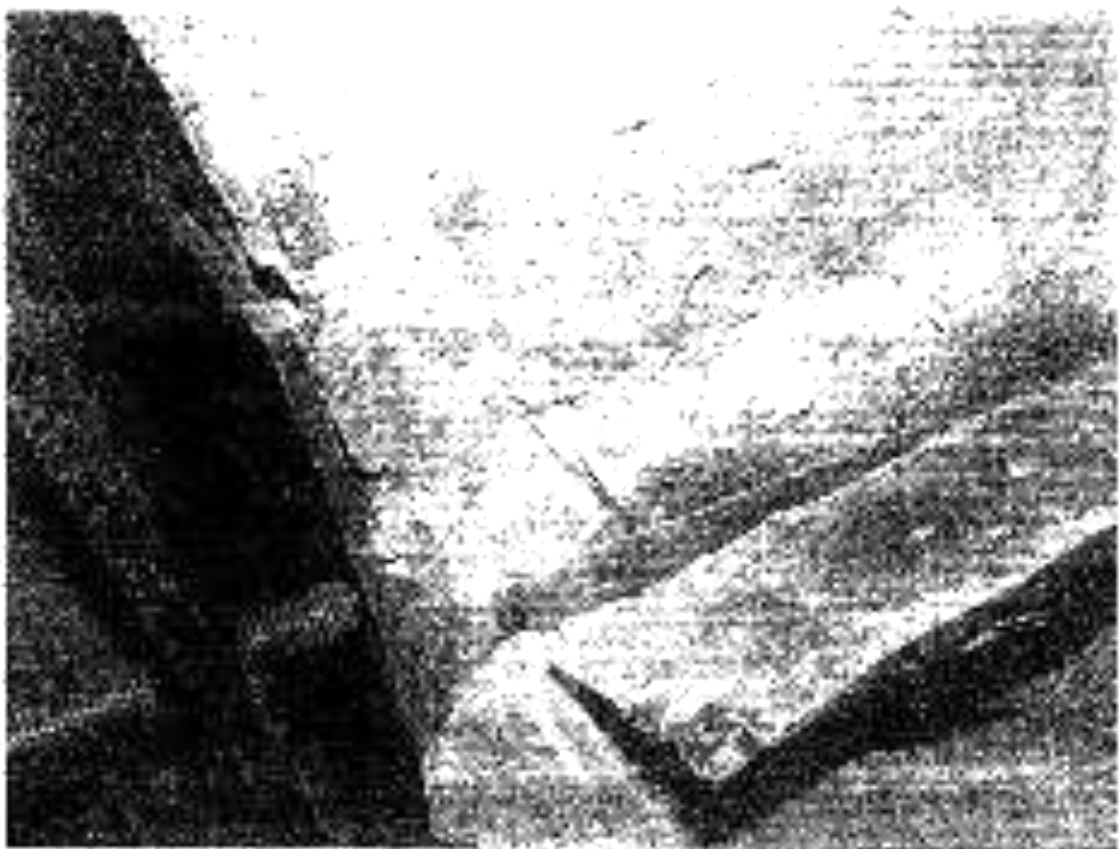
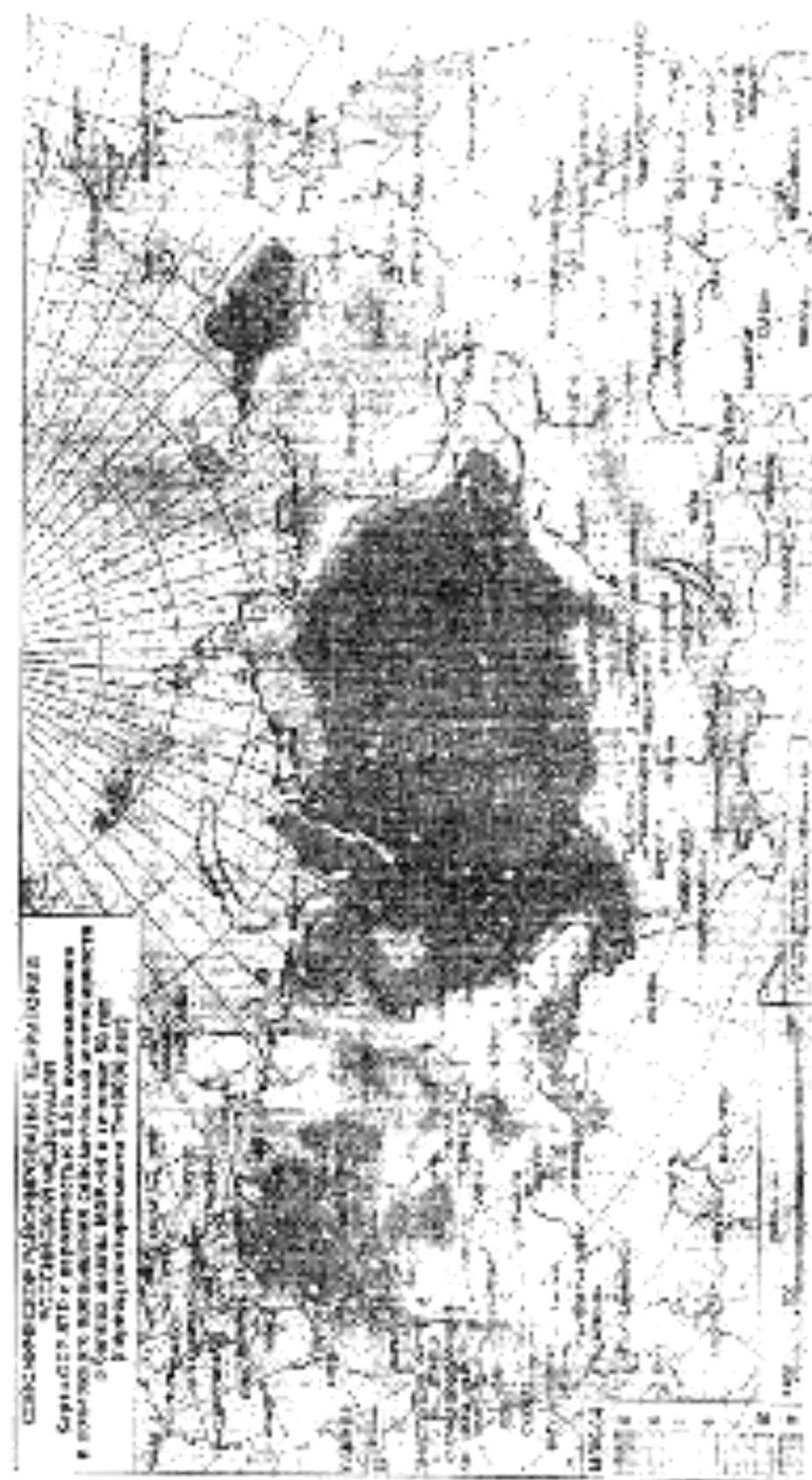


FIG. 5.3



FIG. 6.2



Page 61

## 7. ЗАКЛЮЧЕНИЕ. ВЫСНОСЫ И РЕКОМЕНДАЦИИ

Анализ результатов линейно-статических испытаний образцов панелей с трещинами, сформированных стеклопластиковой прокладкой, выполненных на инфраструктуре ЦНИИСК им. Д.А.Курилова показал следующие выводы:

1. В соответствии с программой циклических испытаний были испытаны 4 серии образцов бетонных панелей сформированных стеклопластиковой прокладкой.
2. В процессе испытаний ускорение в уровне испытаниях платформы колебалось от 11,2 до 945,4 см/с<sup>2</sup>, что соответствует гейсинетической воздействию от 5 до 10 баллов. В результате испытаний при динамических воздействиях, соответствующих 9-ти балльной шкале, не обнаружено механических повреждений арматуры и ненагруженных образцах.
3. Стеклопластиковая прокладка может быть рекомендована для применения в качестве рабочей прокладки в бетонных конструкциях, используемых в районах с гейсинетичностью 7-9 баллов. Диаметр прокладки должен применяться в соответствии с проектом.
4. Вопросы долговечности и отстойчивости стеклопластиковой прокладки в настоящий момент исследованы.
5. В табл. 2 к настоящему отчету приложена инструкция испытаний ФС на собственное заинтересованное.

## СПИСОК ЛИТЕРАТУРЫ

1. МСК-24. Шкала сейсмической опасности землетрясений МСК. -1984.
2. Межгосударственный стандарт ГОСТ 30546.1-98 «Общие требования к монолитам, панелям и другим русским изделиям в методе расчета их стойкости конструкций и частот сейсмостойкости».
3. СНиП 2.03.01-84\*, «Бетонные и железобетонные конструкции. Нормы проектирования».

ПРИЛОЖЕНИЕ I.

РЕЗУЛЬТАТЫ ДИНАМИЧЕСКИХ ИСПЫТАНИЙ СТЕЛОПЛАСТИКОВОЙ  
АРМАТУРЫ

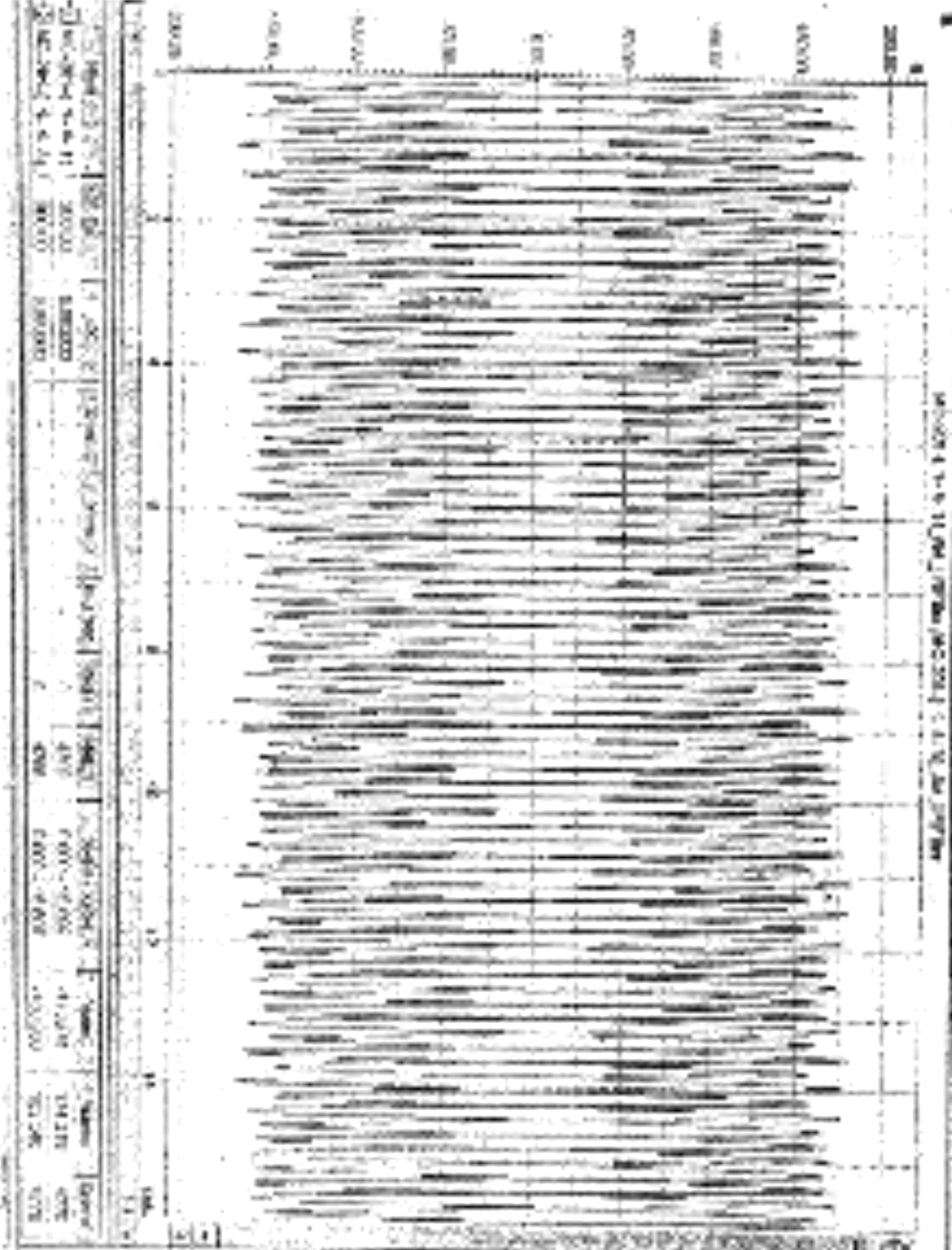


Рис.П1-1. Схема изображения, показывающая в левом масштабе 1:4 (зарегистрирован), увеличенного до 1:1000000 и левом 1:4-2000000 (изображение).  
Изображение на боковой гр 2234 разделено вдоль этого элемента (расстояние 1 км, единица измерения 1 км)

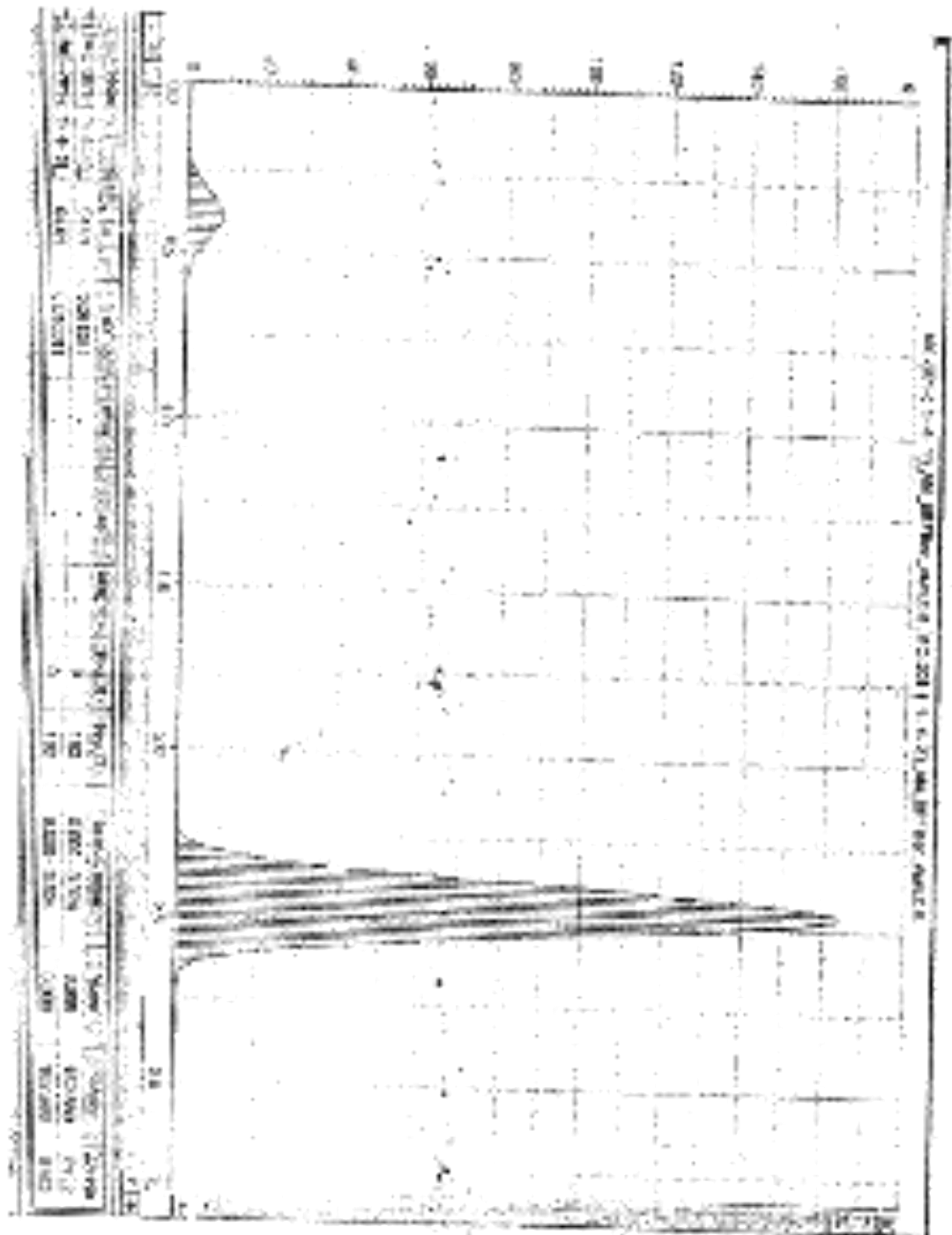


Рис. D-1-2. Спектральная зависимость относительной погрешности измерения коэффициента пропорциональности между магнитным полем и напряженностью магнитного поля в диапазоне частот 2-5 Гц, измеренного Амперометром [48].

ME 3011 L-6-11-LAB 30 THE INTEGRAL TEST FOR GAGE READING ACCURACY AT THE PROJECT STATION OF THE METER

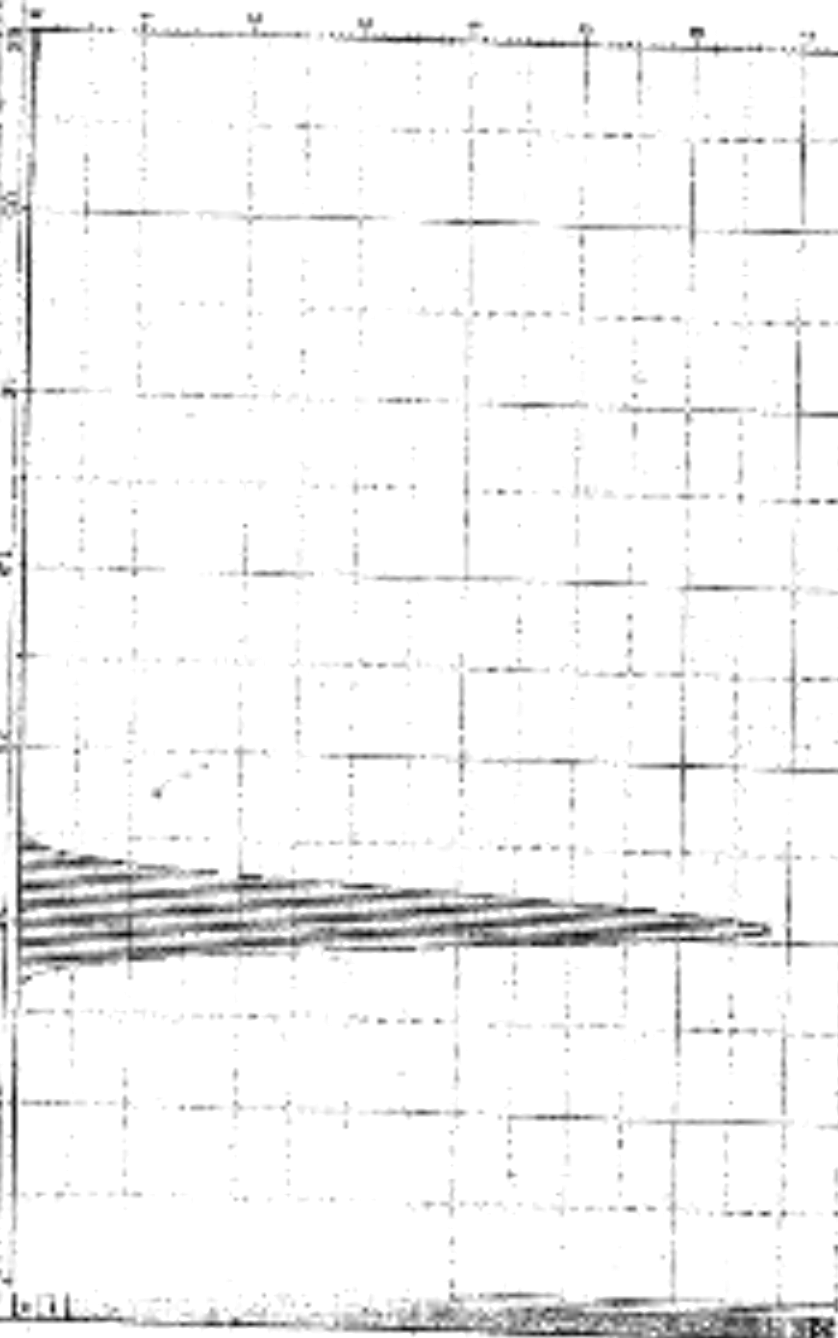


Fig. 11-3. Сетевые измерения, выполненные в лаборатории (последовательно), уменьшающиеся в направлении от единиц 1 до единиц 22-го персонального счетчика (сумма = 25 Гц, максимальная ошибка = 0,5 мкм).

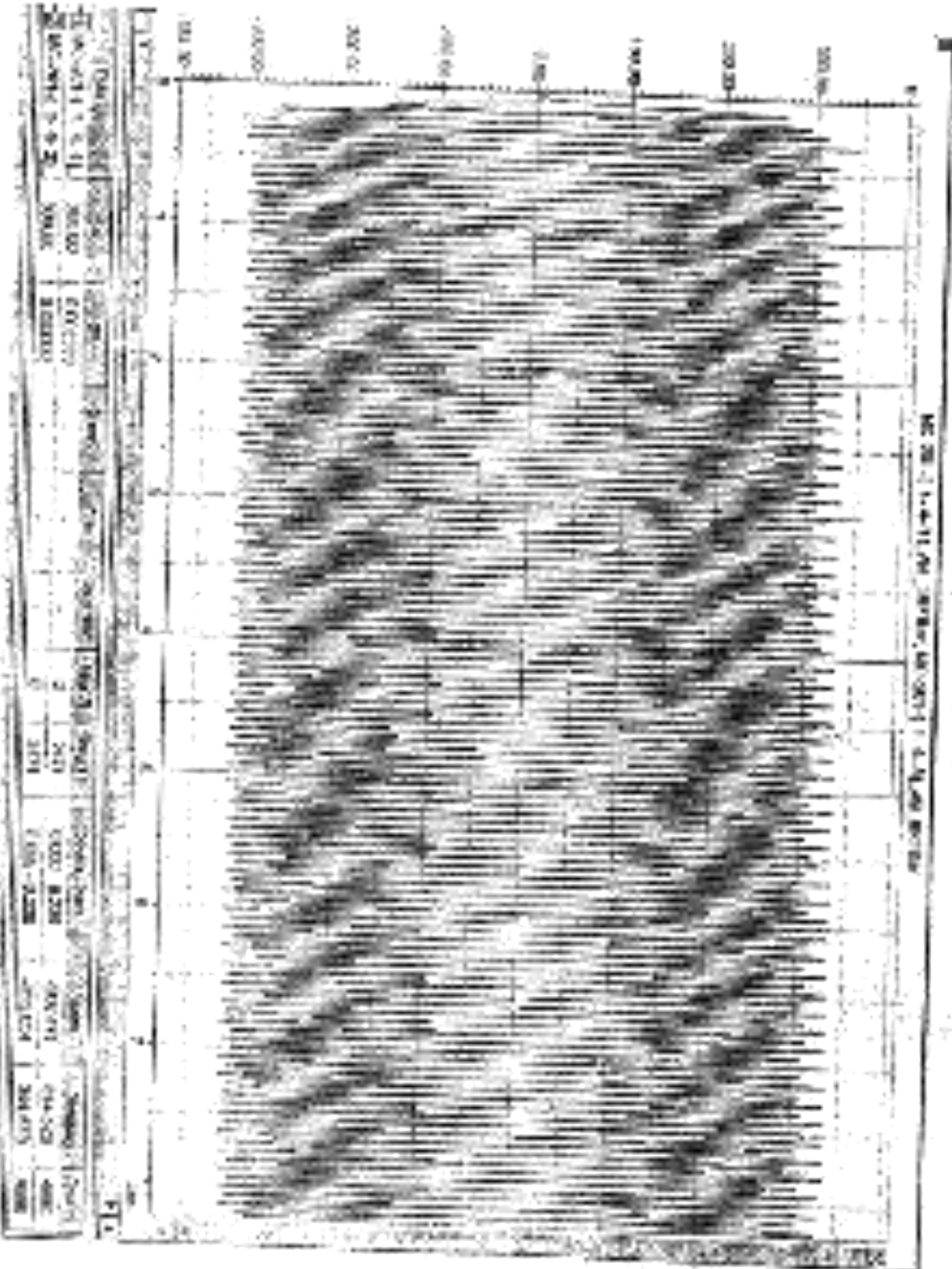


Рис. 13-1-4. Осциллограмма, записанная с помощью 1-4-1 (один приемник на поглощатель и один приемник на излучатель) вибратора 1-4-7 (Vibram 1-4-7).

Рис. 11.5. Статистический спектр звукового давления (спектр звука) для акустической системы 1-4-1 (длина трассы), полученного с помощью метода Фурье, сформированного из блоков при 4-м уровне трассы (частота 47,5 Гц, амплитуда 0,3,9 мкВ).

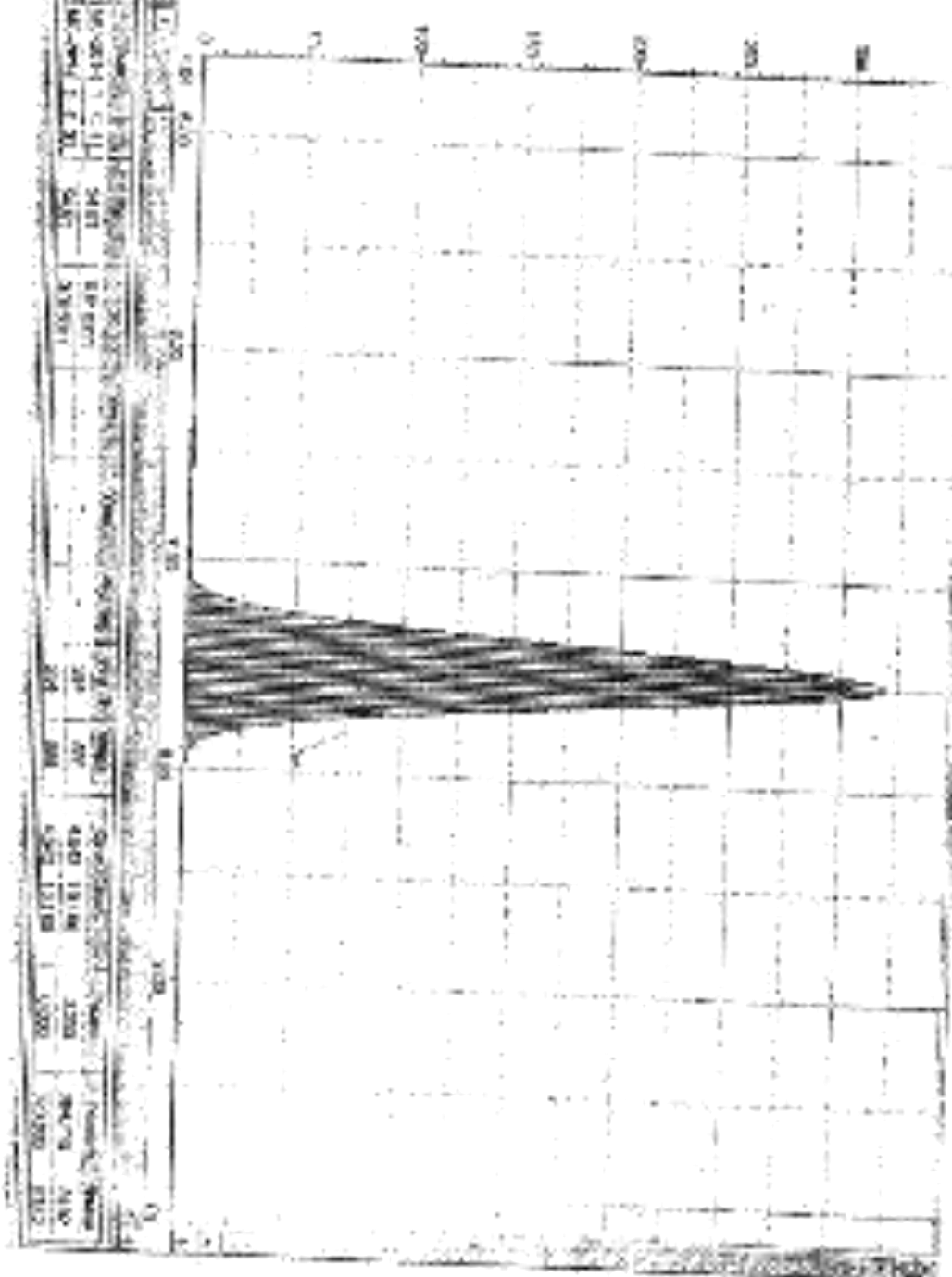


Рис. 11.5. Статистический спектр звукового давления (спектр звука) для акустической системы 1-4-1 (длина трассы), полученного с помощью метода Фурье, сформированного из блоков при 4-м уровне трассы (частота 47,5 Гц, амплитуда 0,3,9 мкВ).

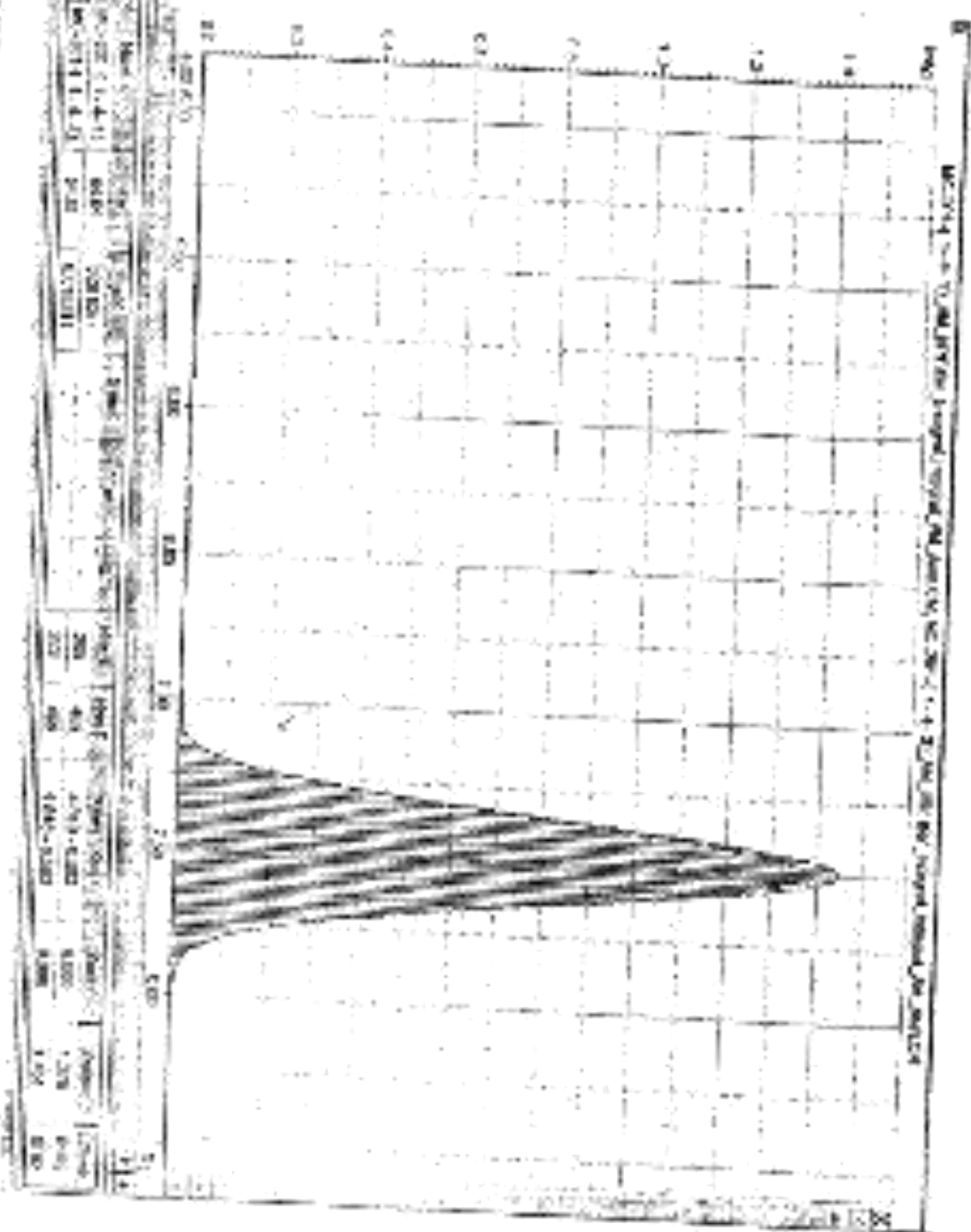


Fig. 1-6. Связь между коэффициентом усиления трансформатора и соотношением числа витков первичной и вторичной обмоток при одинаковых коэффициентах трансформации для различных значений коэффициента усиления тока.

REC'D 14 JUL 1962 BY R. H. COOPER

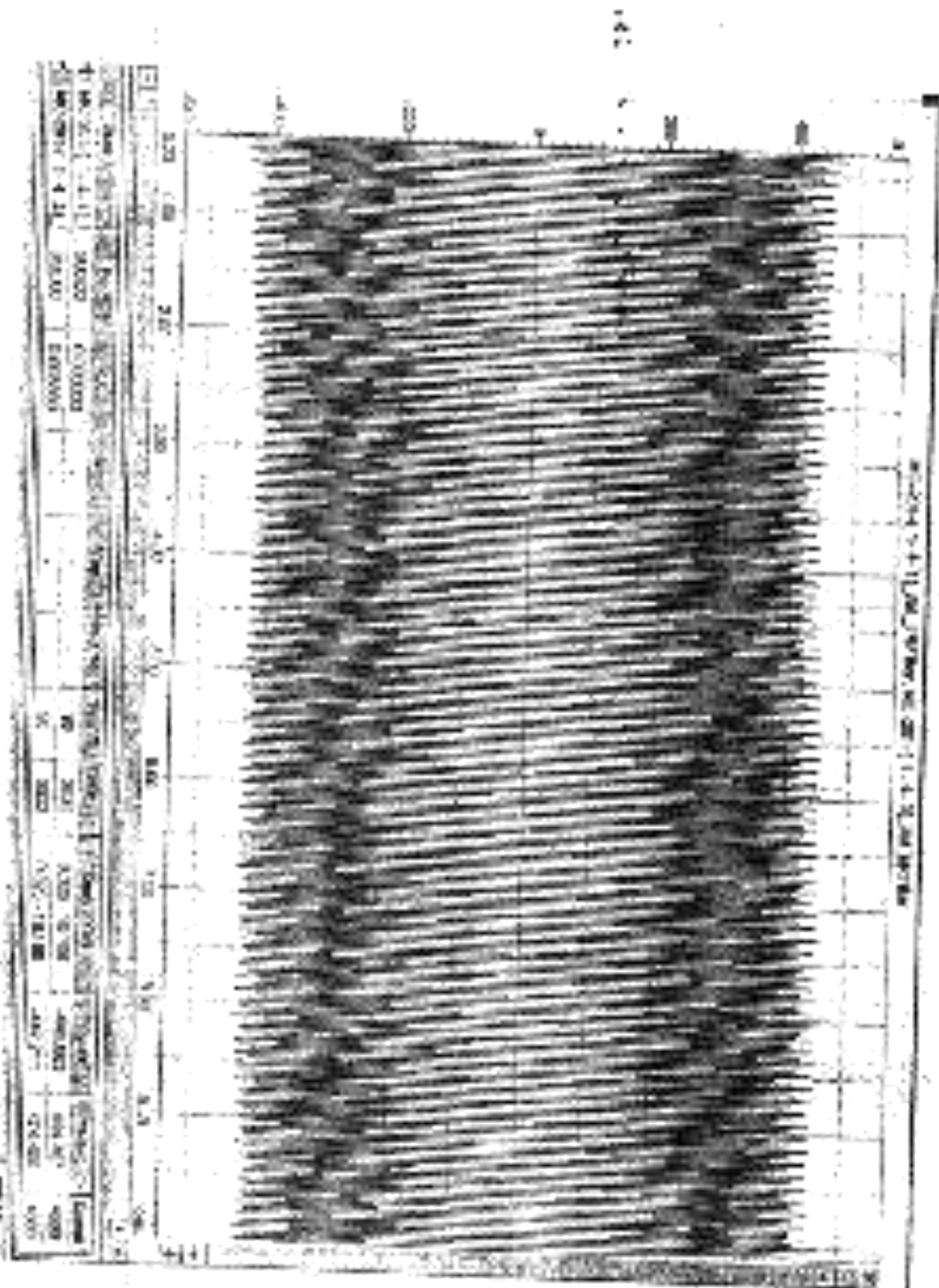


FIG. II-1-7. Seismic reflection profile 1-4-1 made in 1961 resulted in a correlation of 0.95 with profile 1-4-1 made in 1951. A reflection from a thin, low-velocity layer at 1.6 km depth was correlated with a reflection from a thin, low-velocity layer at 1.4 km depth.

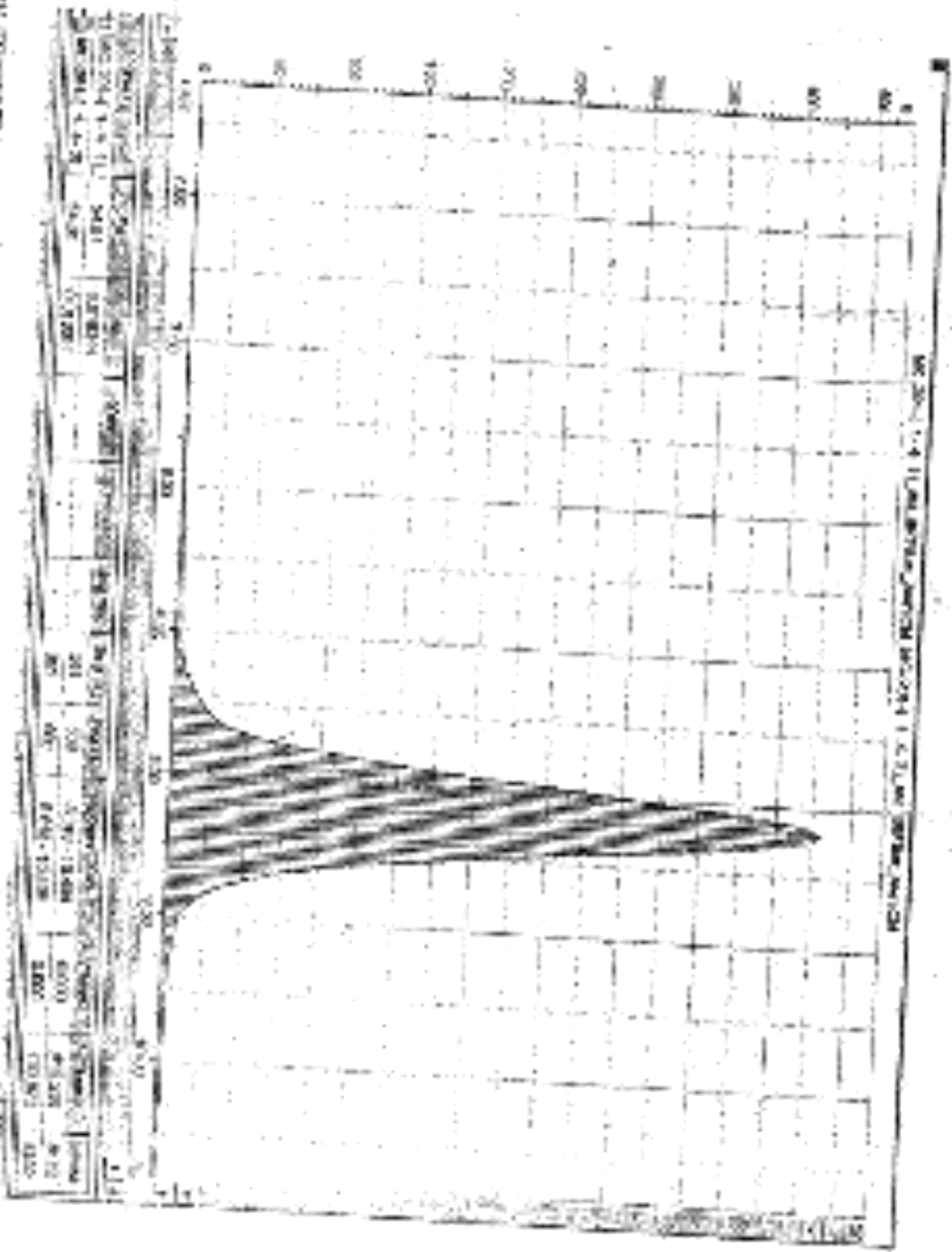


Fig. 1-3. Структура пленки на основе полиметилметакрилата (ПММА) с различной концентрацией нанодисперсного наполнителя (полидиоксиэтилена (ПДО), мол. масса  $\lambda=1,3$  ам)

